

A fluorescence microscopy image of a flower bud. The cell walls are stained red, and specific cells within the bud are stained blue, indicating the presence of a fluorescent marker. The text is overlaid on the image.

Le code secret des fleurs

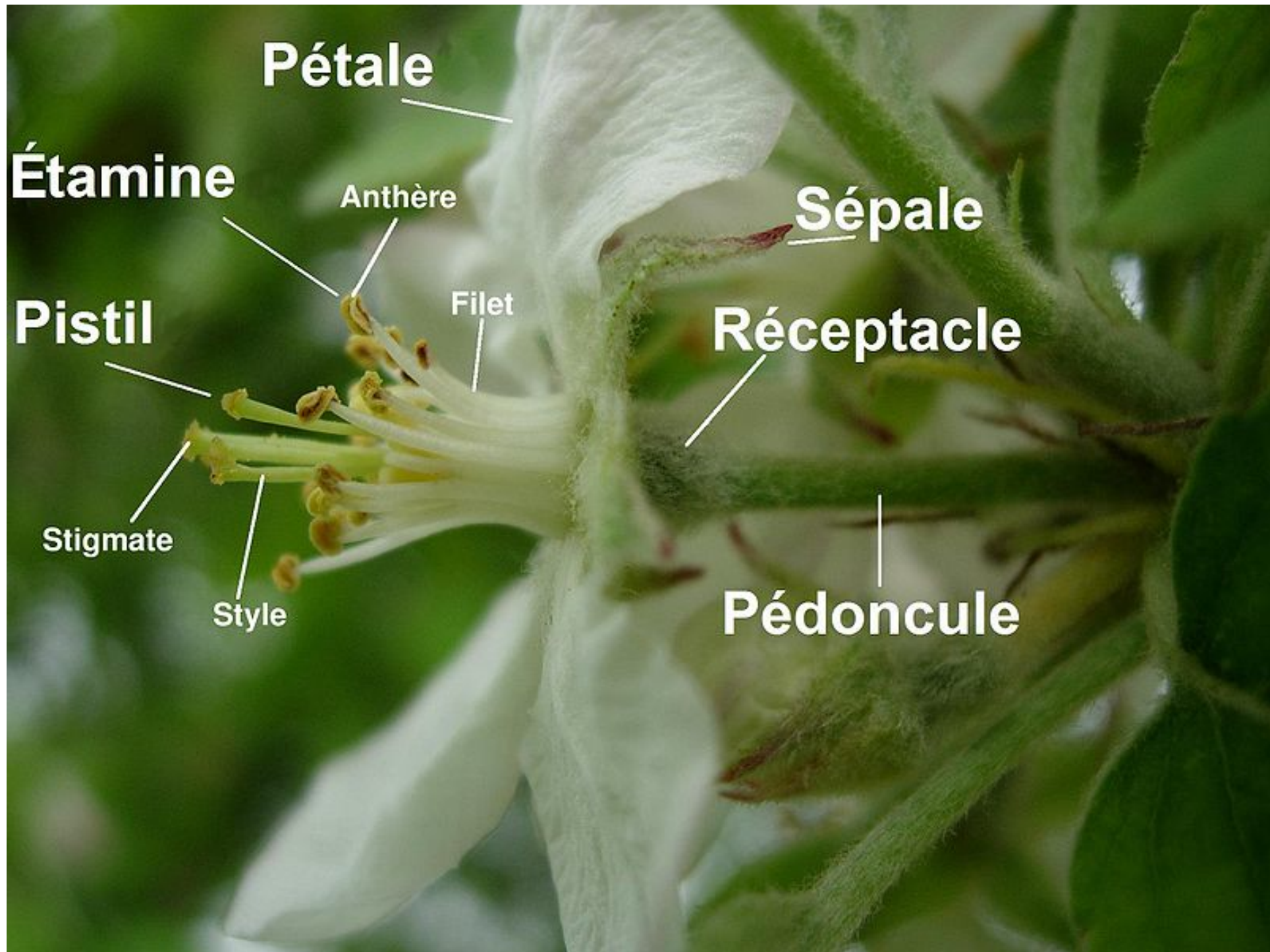
*Christophe Godin
Inria*



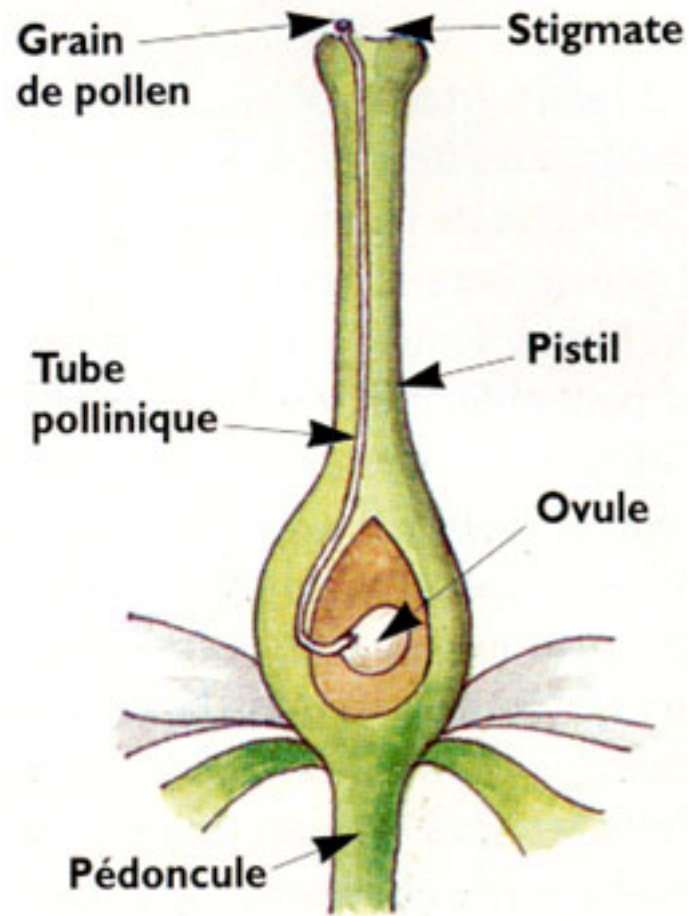


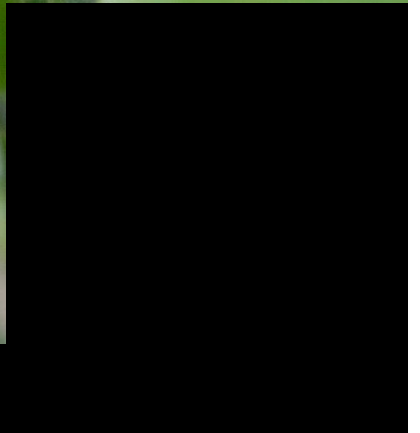
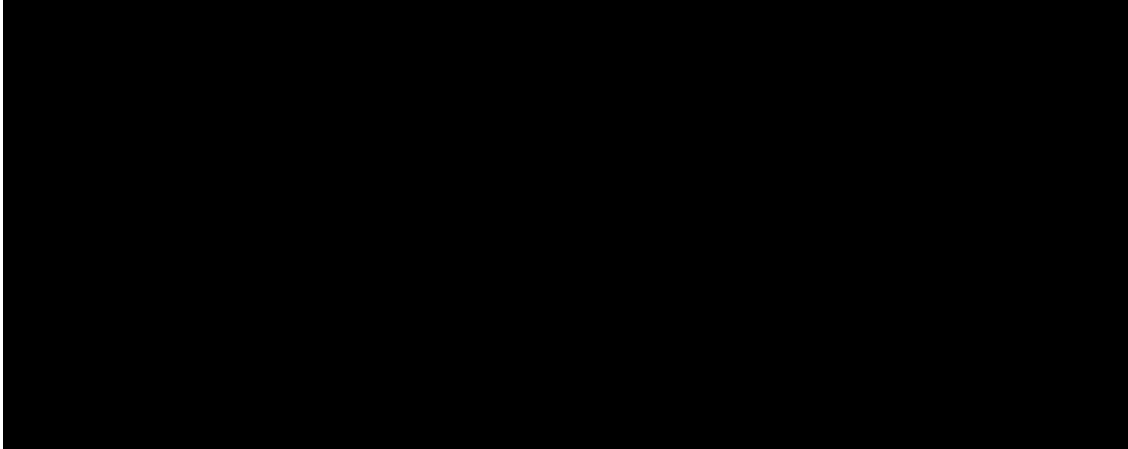
Observons la structure d'une fleur
(virtuelle !)





Sa fonction





Goethe et le concept de metamorphose (1790)

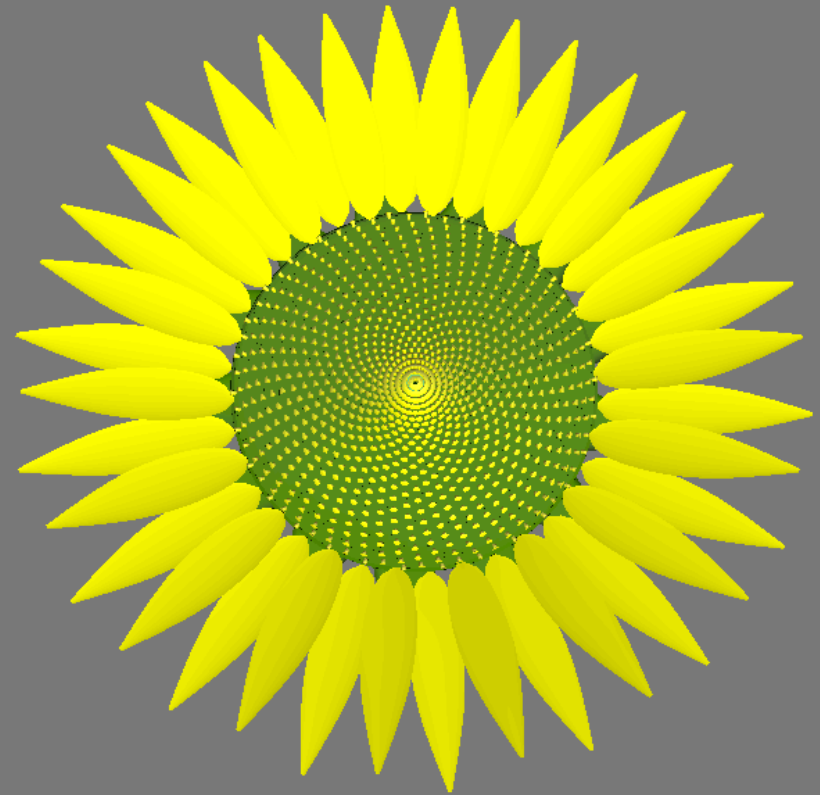


J. W. Goethe (1749-1832)



“Les organes d’une plante correspondent à des transformations d’un unique organe sous-jacent”

Des structures très différentes, et
pourtant !

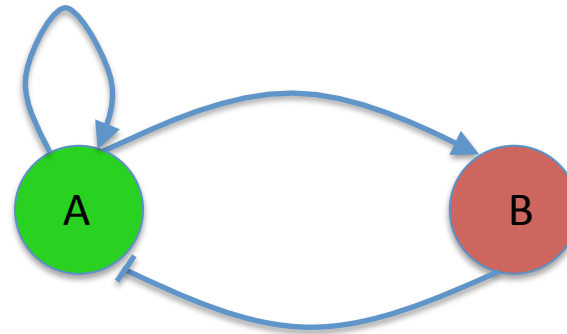


Le code secret des fleurs:
A B C

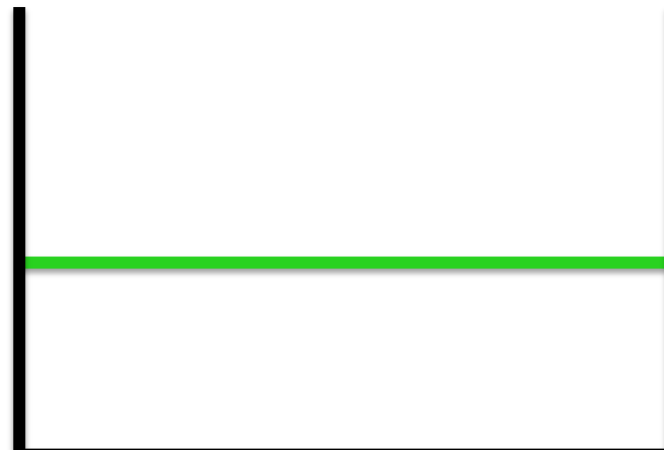
1952: une découverte surprenante ...



Alan Turing



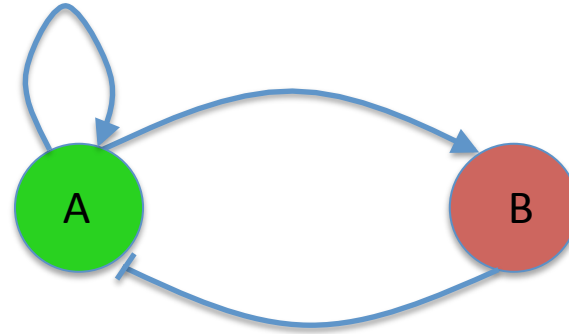
- A est fabriqué un peu partout
- B s'étale plus vite que A



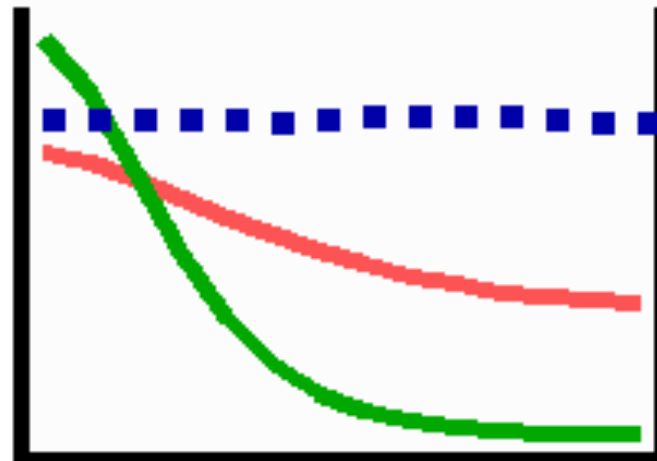
Une découverte surprenante ...



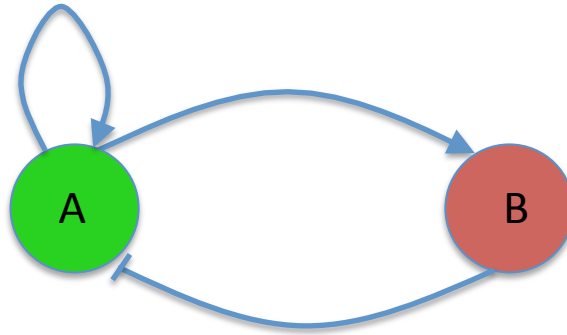
Alan Turing



- A est fabriqué partout
- B s'étale plus vite que A



Écriture mathématique

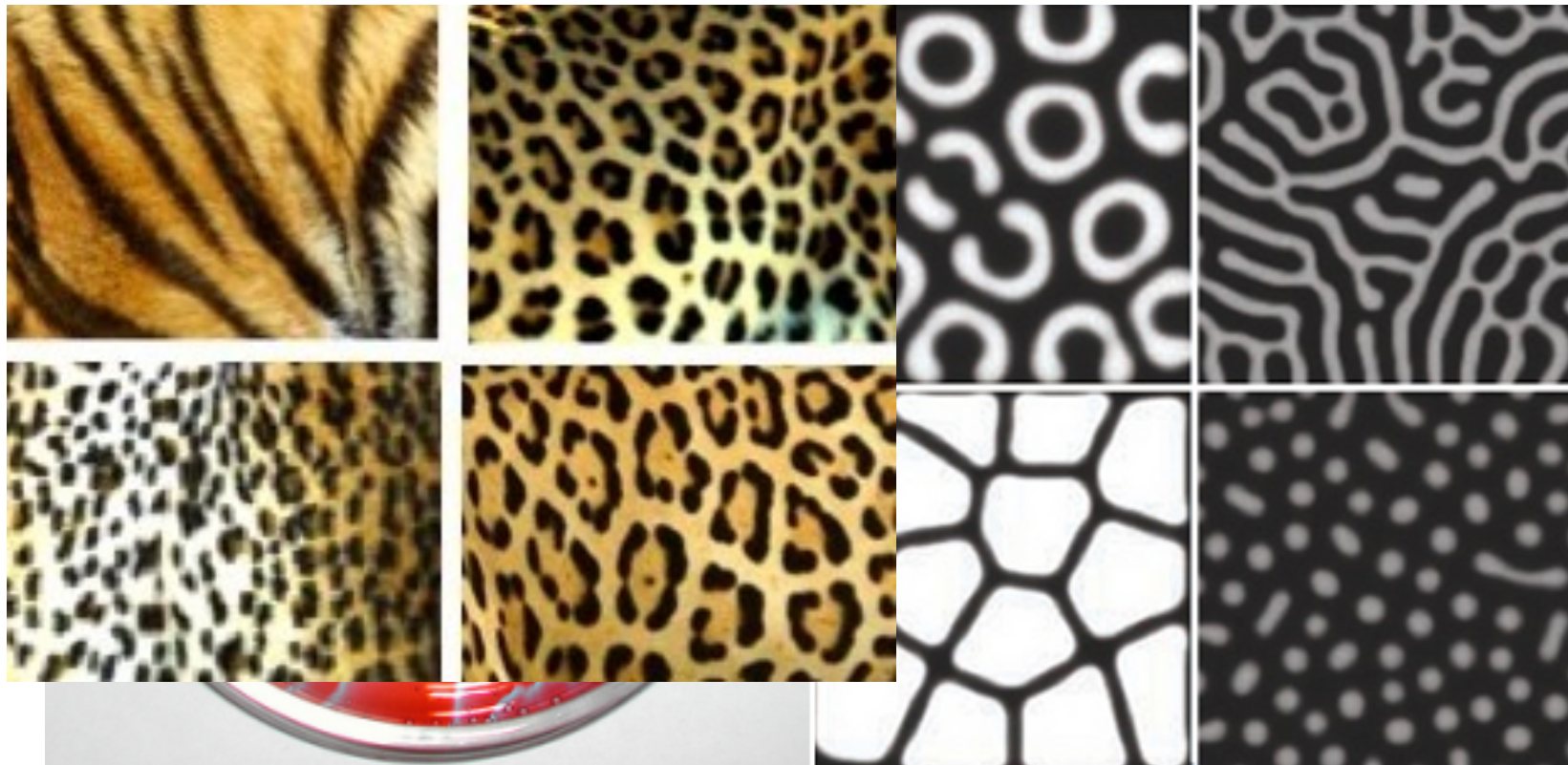
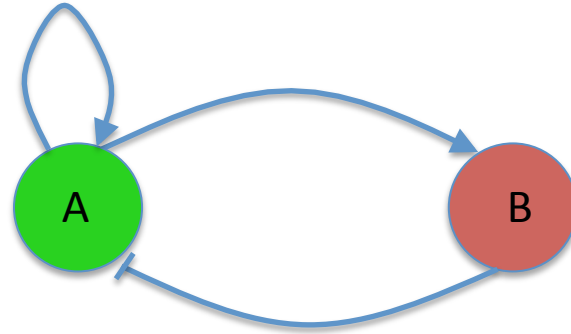


B s'étale plus vite que A

$$\frac{dA}{dt} = c - bA + \frac{A^2}{k(1 + dA^2)} + D_A \Delta A$$

$$\frac{dB}{dt} = A^2 - B + D_B \Delta B$$

Il apparaît des formes !



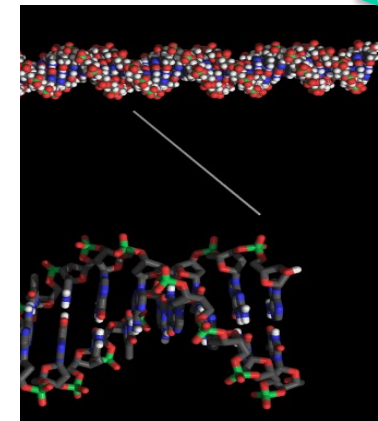
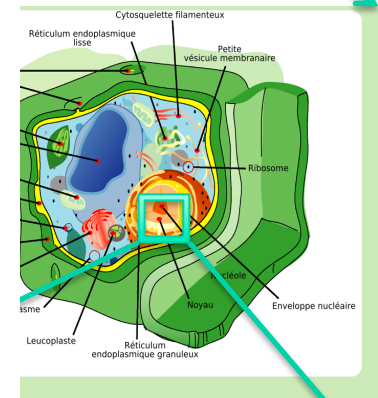
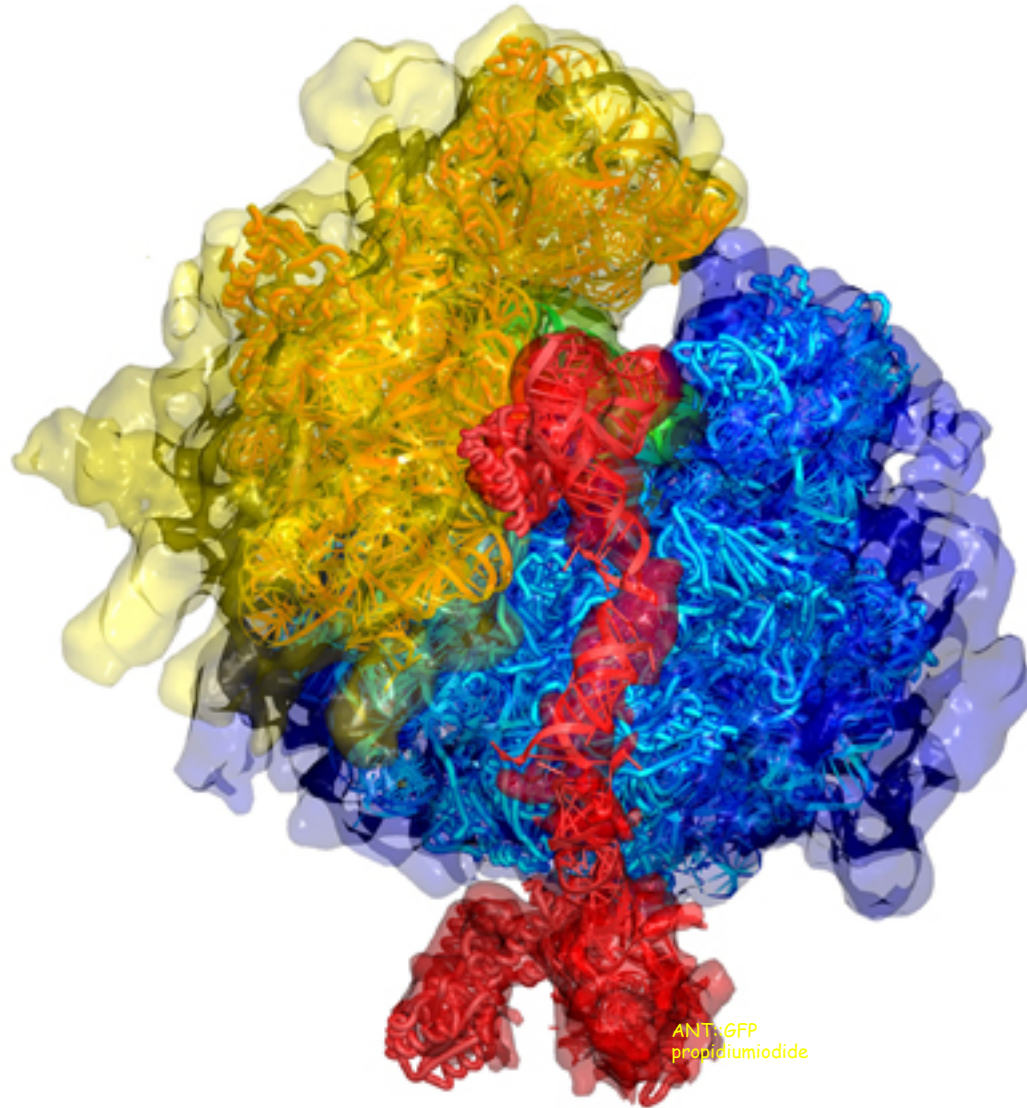
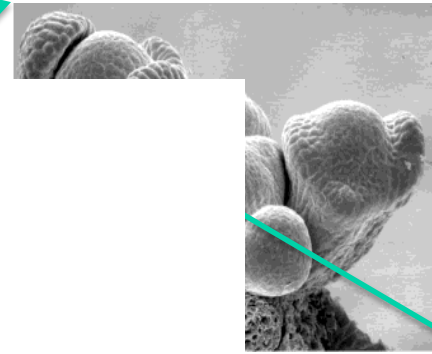
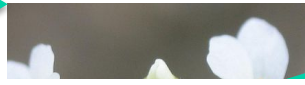
Conjecture de Turing

“un tel système pourrait expliquer l’organisation des organes d’une plante !”



1990: les manipulations génétiques

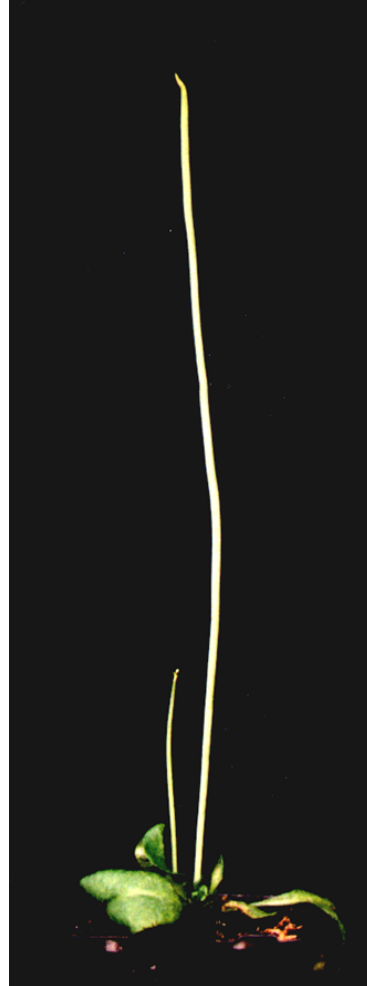




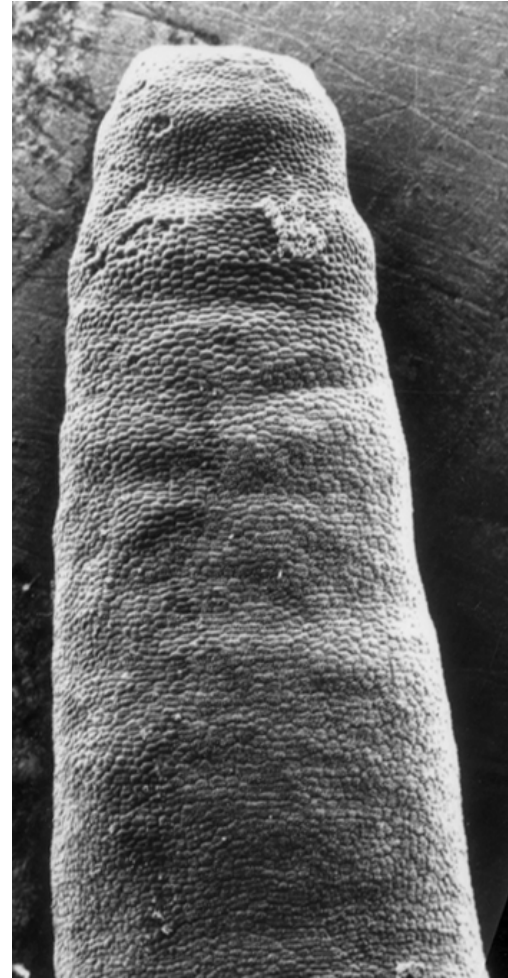
Mutants



Plante
Arabidopsis



Mutant pin 1



pin 1

Mutants de la fleur



agamous (ag)



ap3 or pistillata (pi)



apetala1 (ap1)



apetala2 (ap2)

Exemples de mutants de la fleur

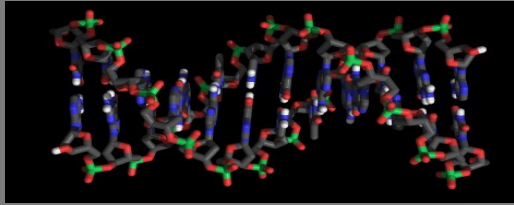


4 types d'organes, 3 genes (A, B, C) impliqués

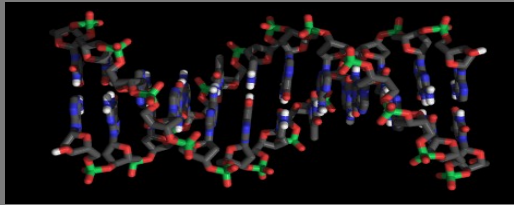
Que se passe t'il ?

Une énigme à résoudre ...

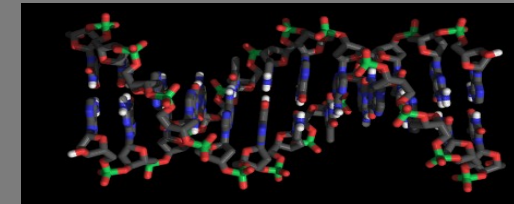
A



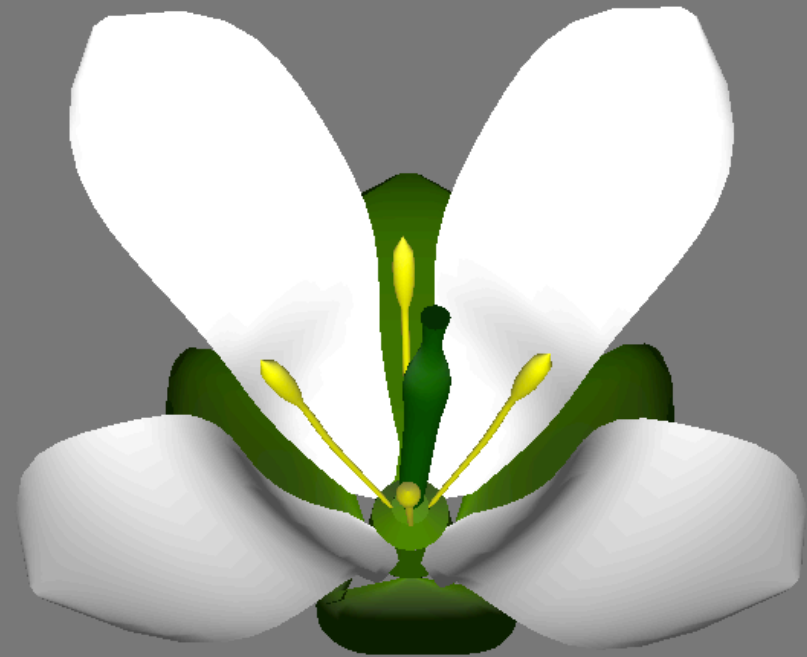
B



C

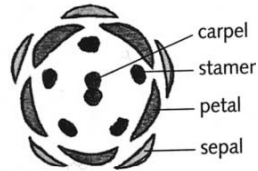
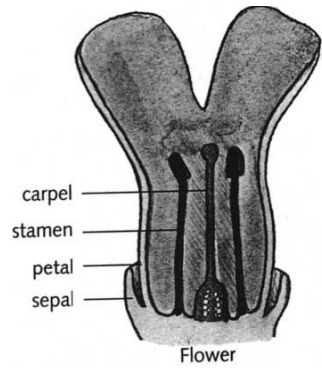


?

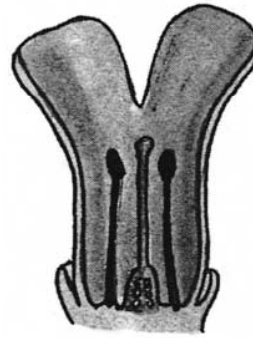


Le modèle ABC

(Coen, Meyerowitz, Nature, 1991)



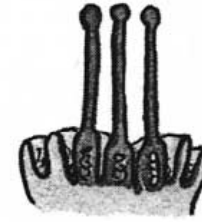
Floral diagram



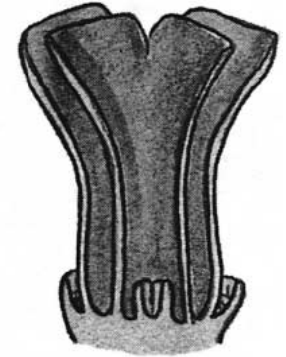
Normal



Class a

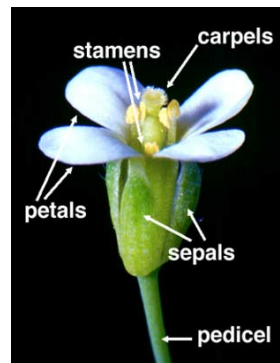
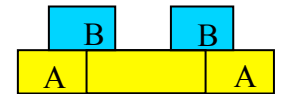
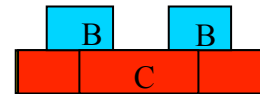
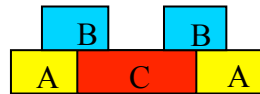
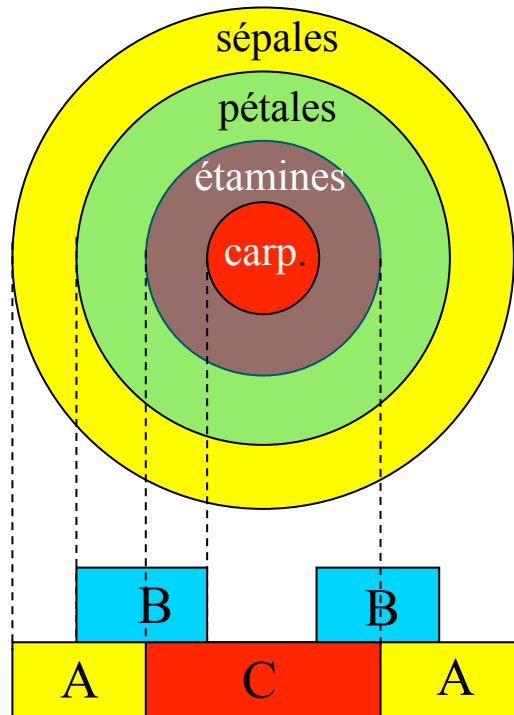


Class b



Class c

(Coen, 2000)

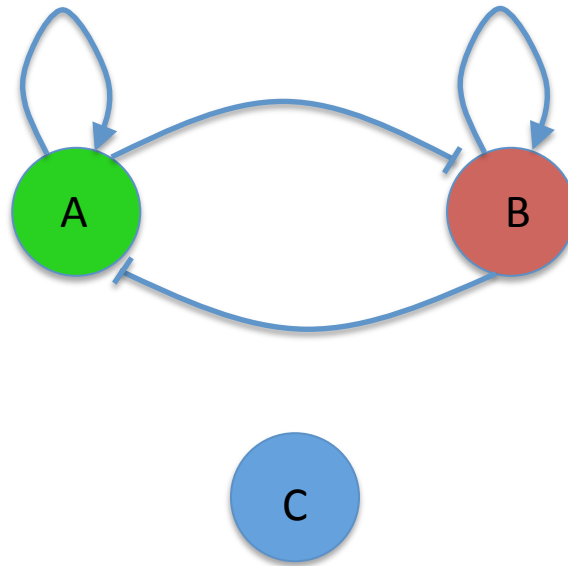


Type sauvage

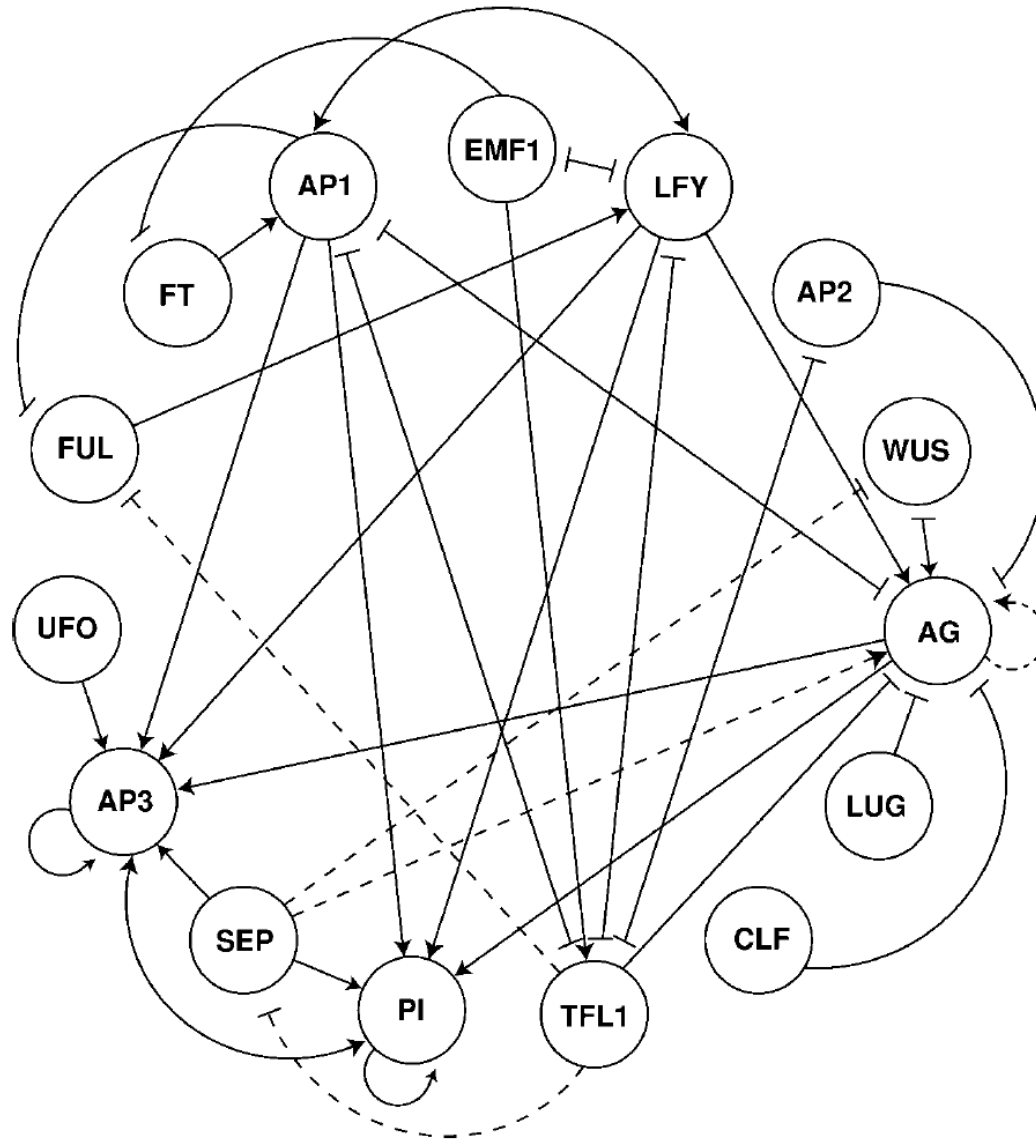


(Photos: Meyerowitz et Yanofsky)

ABC: un système de Turing !



Depuis, ça se complique !



Exemple: rôle du gène *LEAFY*

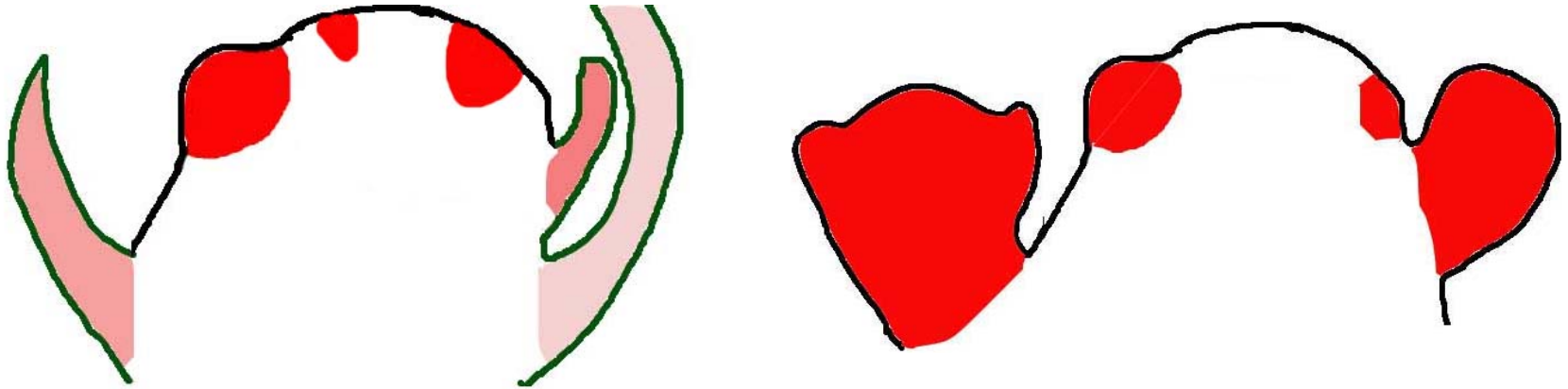


sauvage



mutant *leafy*

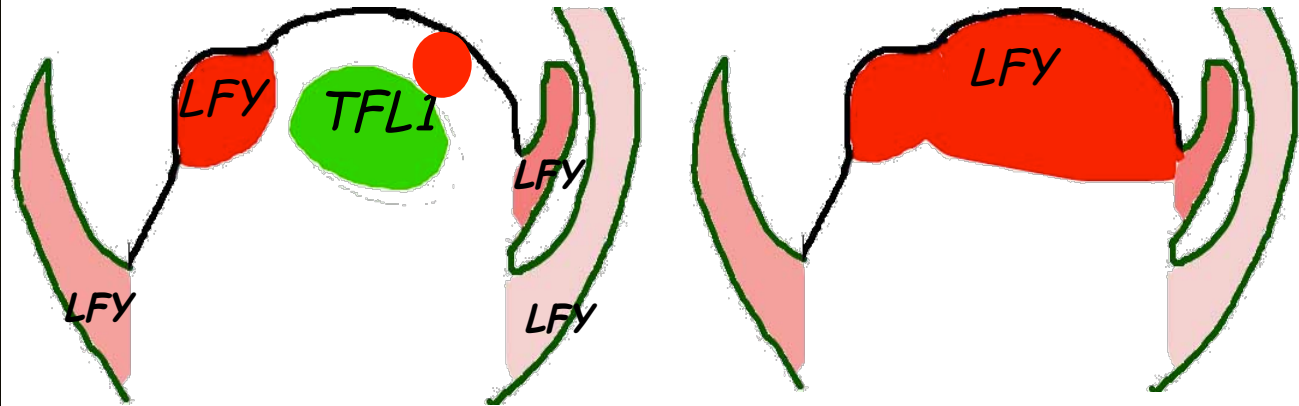
*LEAFY s'exprime dans les bourgeons
floraux*



Role du gène *TERMINAL FLOWER 1 (TFL1)*



mutant *tfl1*



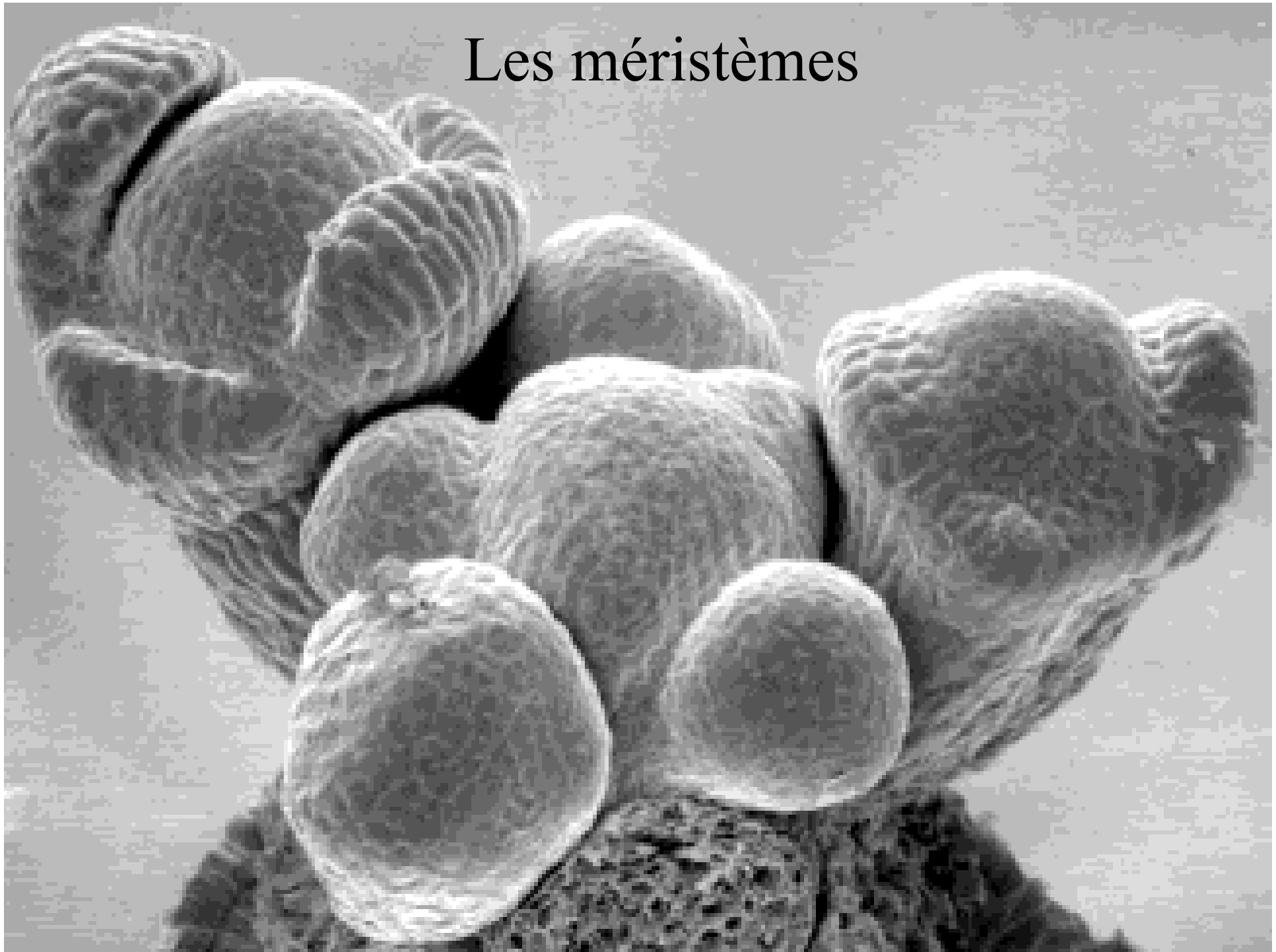
sauvage

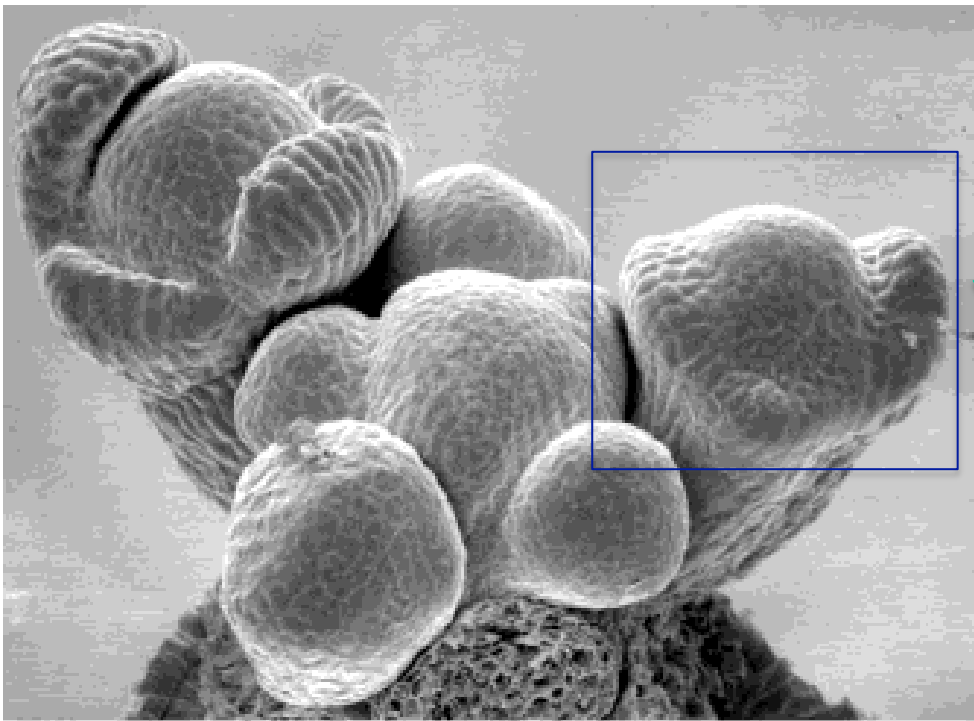
tfl1 mutant

TFL1 réprime **LFY**

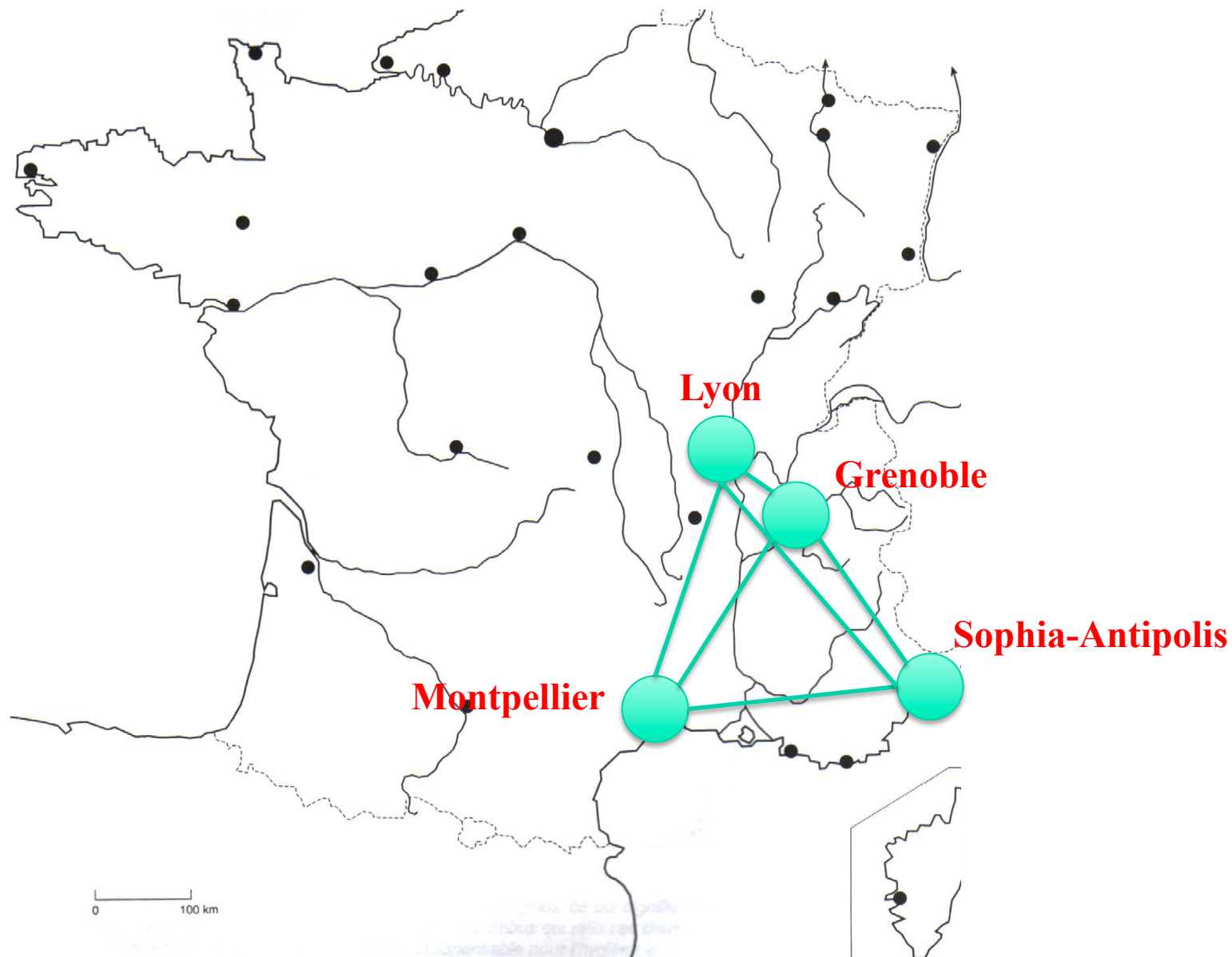
Casser le code complet:
un travail d'équipe !

Les méristèmes

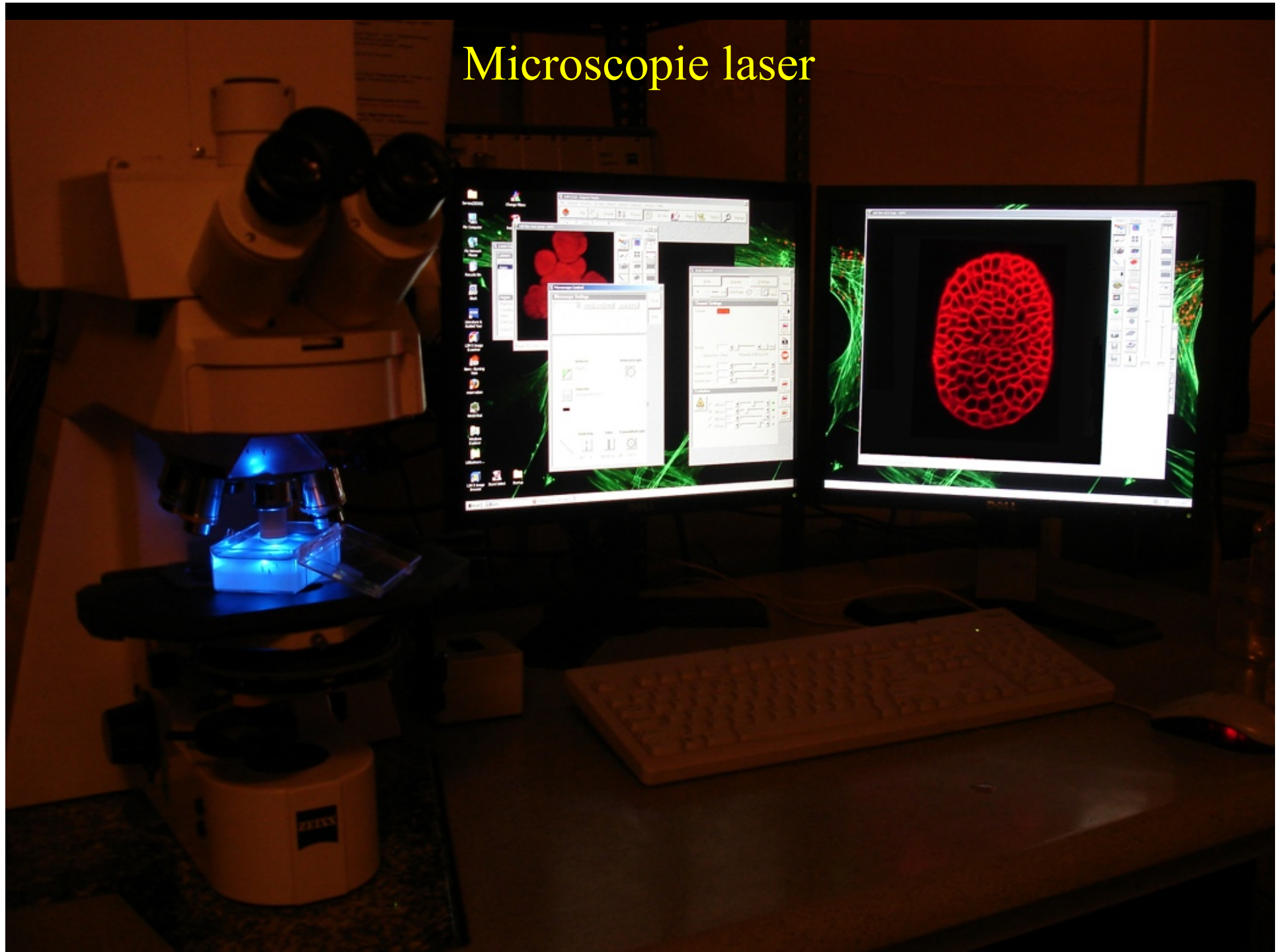




Un réseau d'équipes de recherche



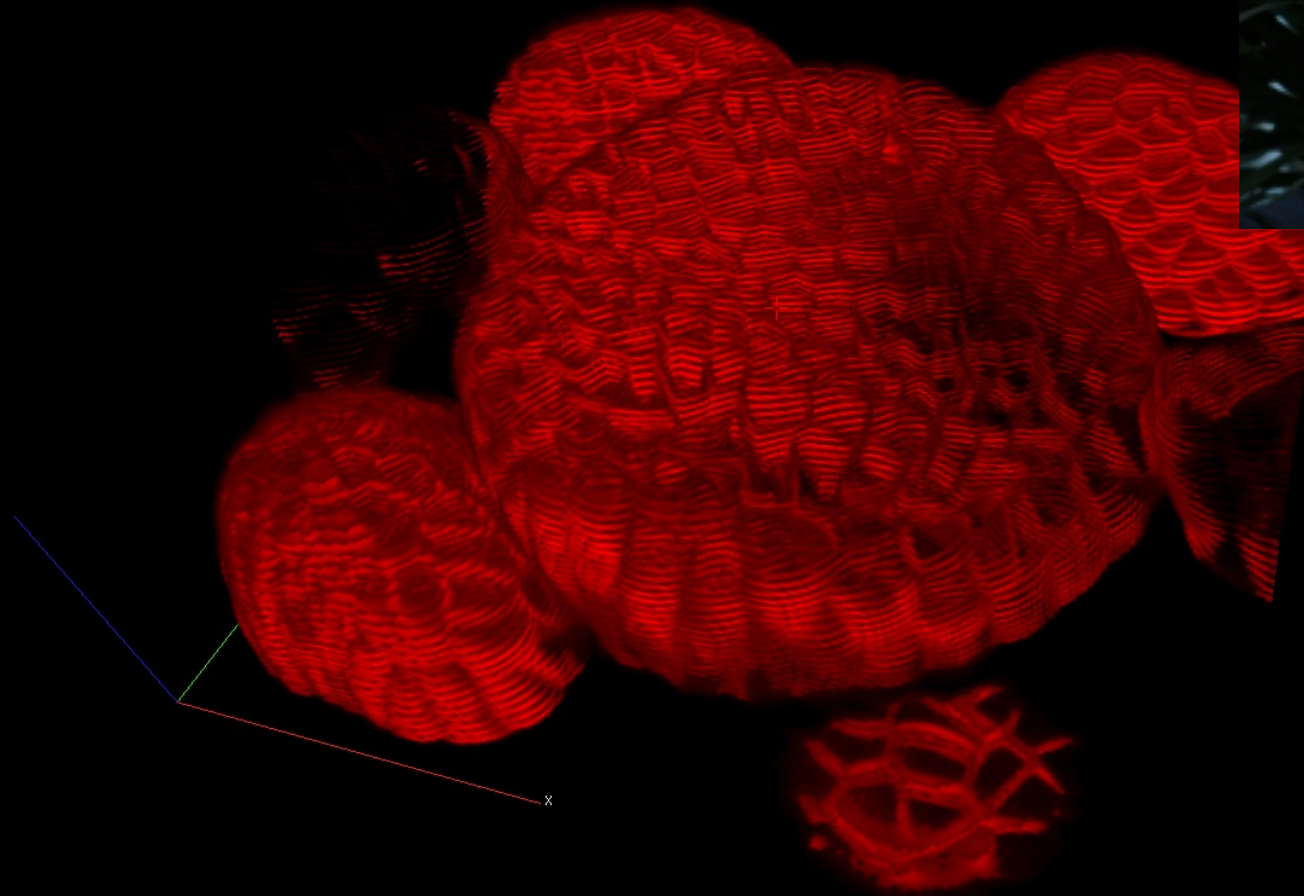
Microscopie laser



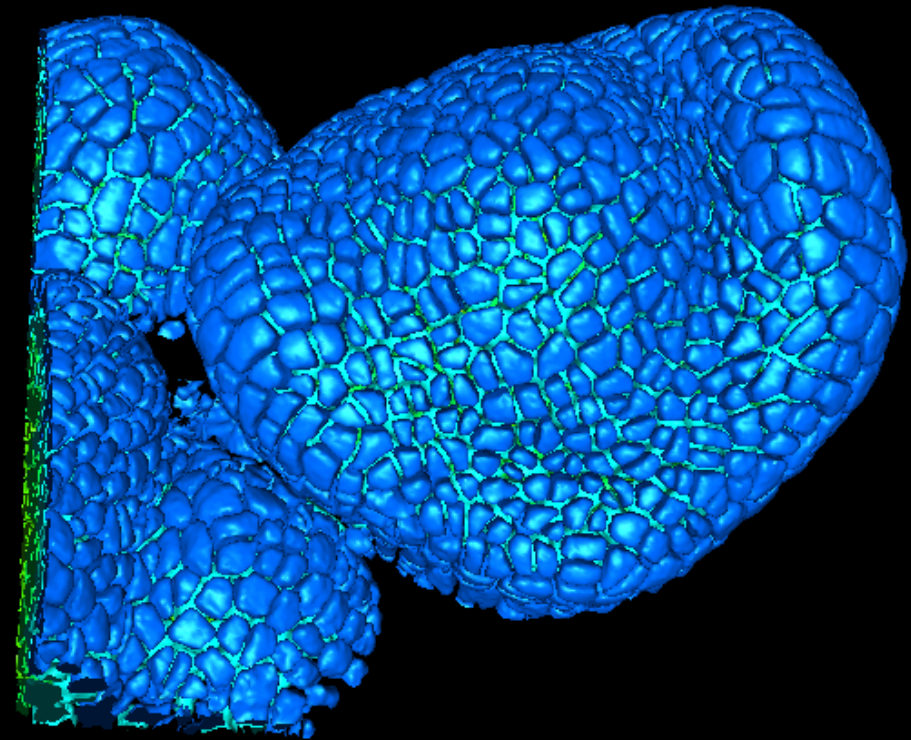
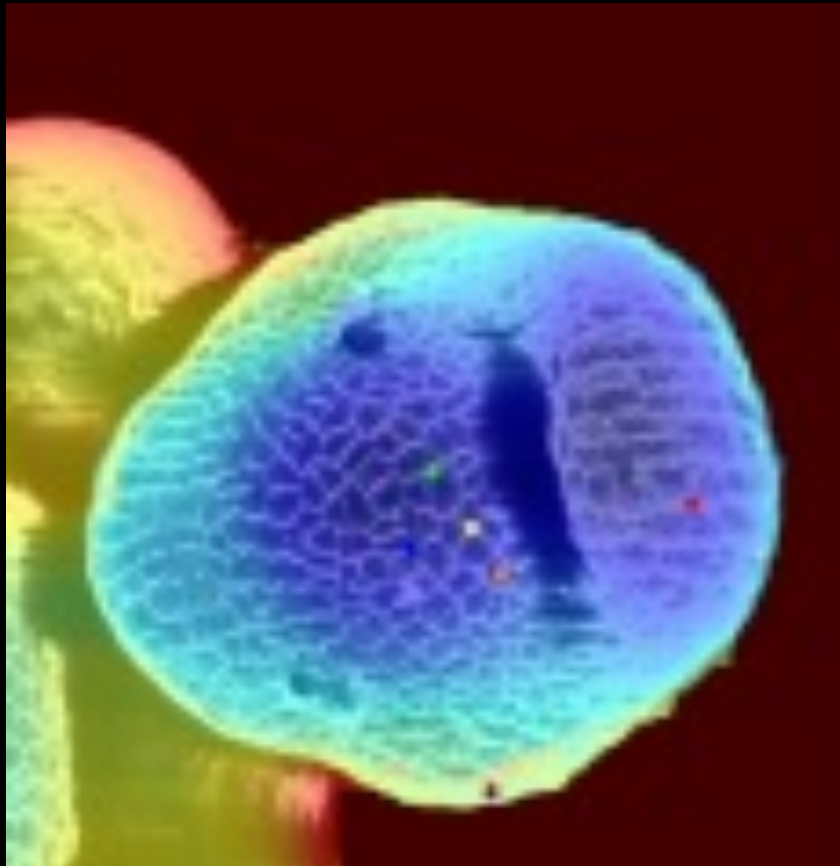
Images en volume



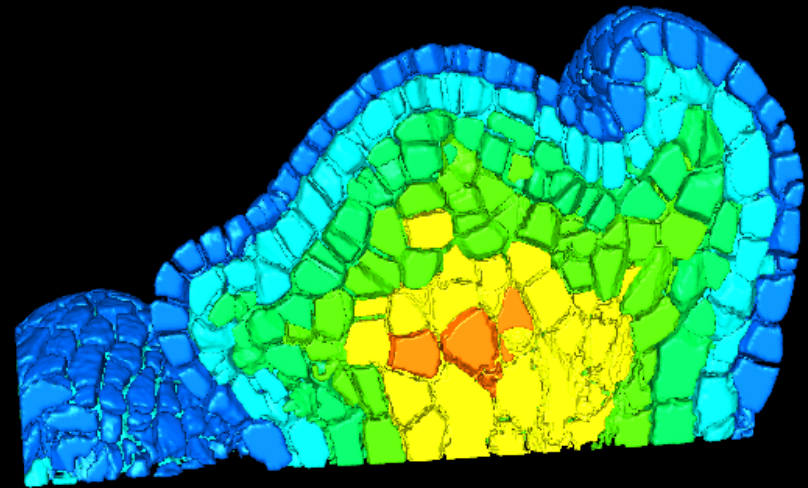
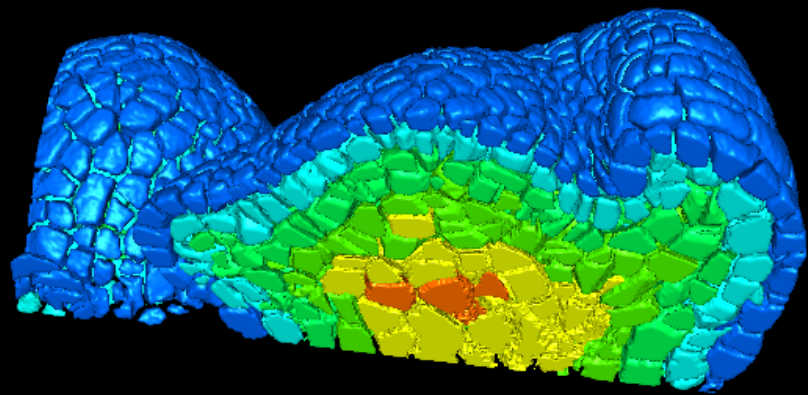
P. Das,, ENS-Lyon



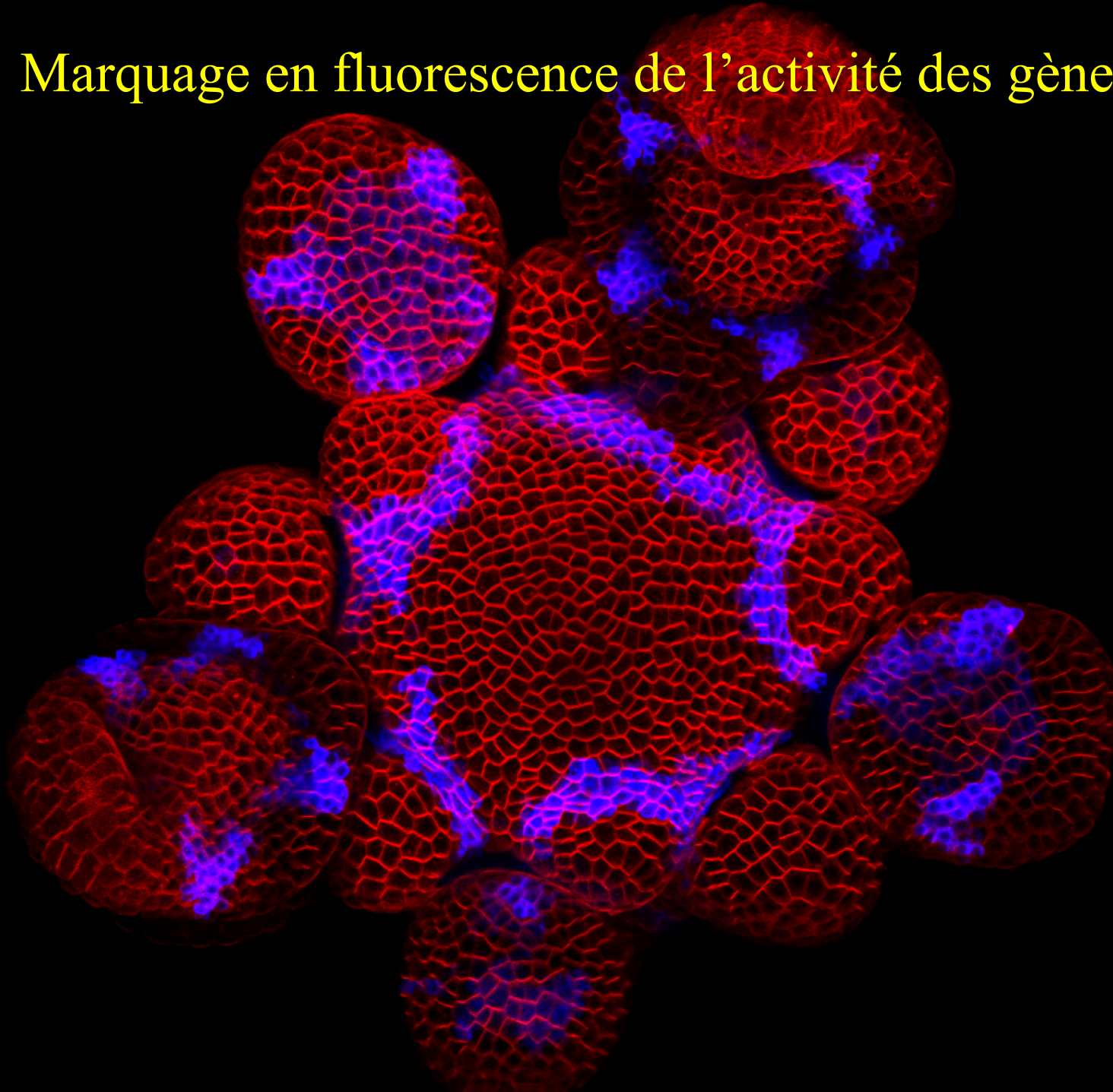
Reconstruction automatique en 3D



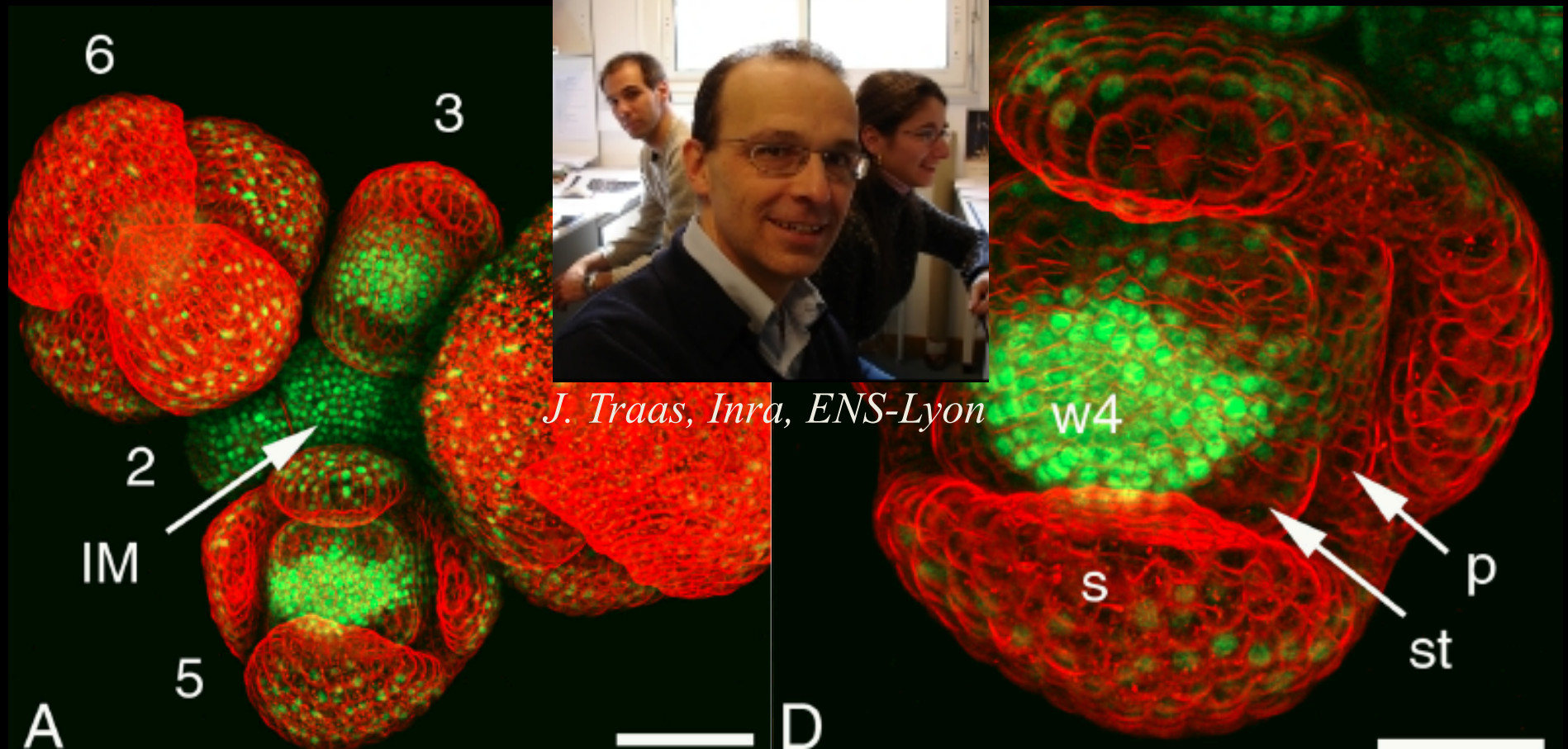
Collab. *EPI Asclepios* (G. Malandain)
Arabidopsis, ENS-Lyon (J. Traas, P. Das)



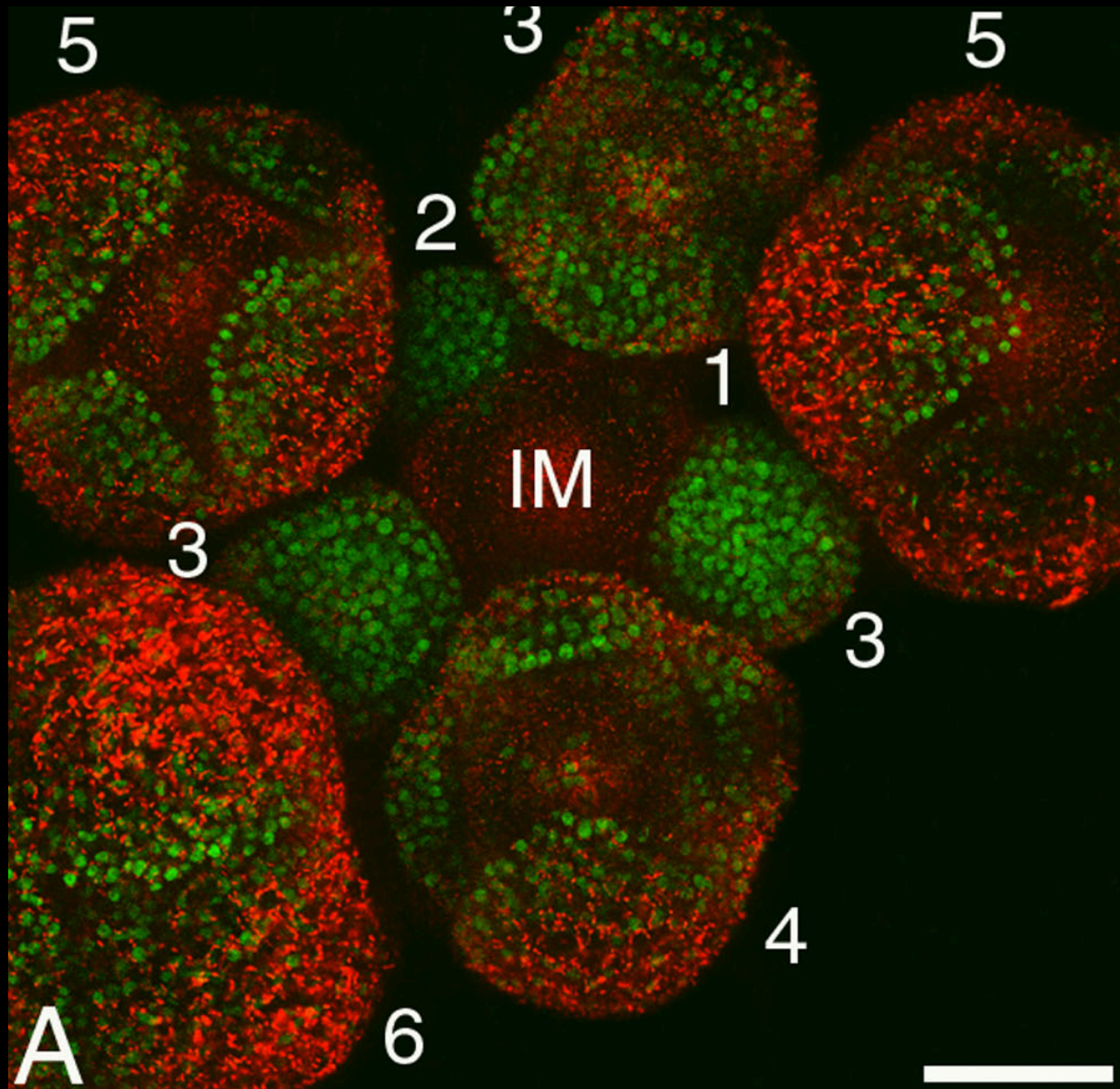
Marquage en fluorescence de l'activité des gènes

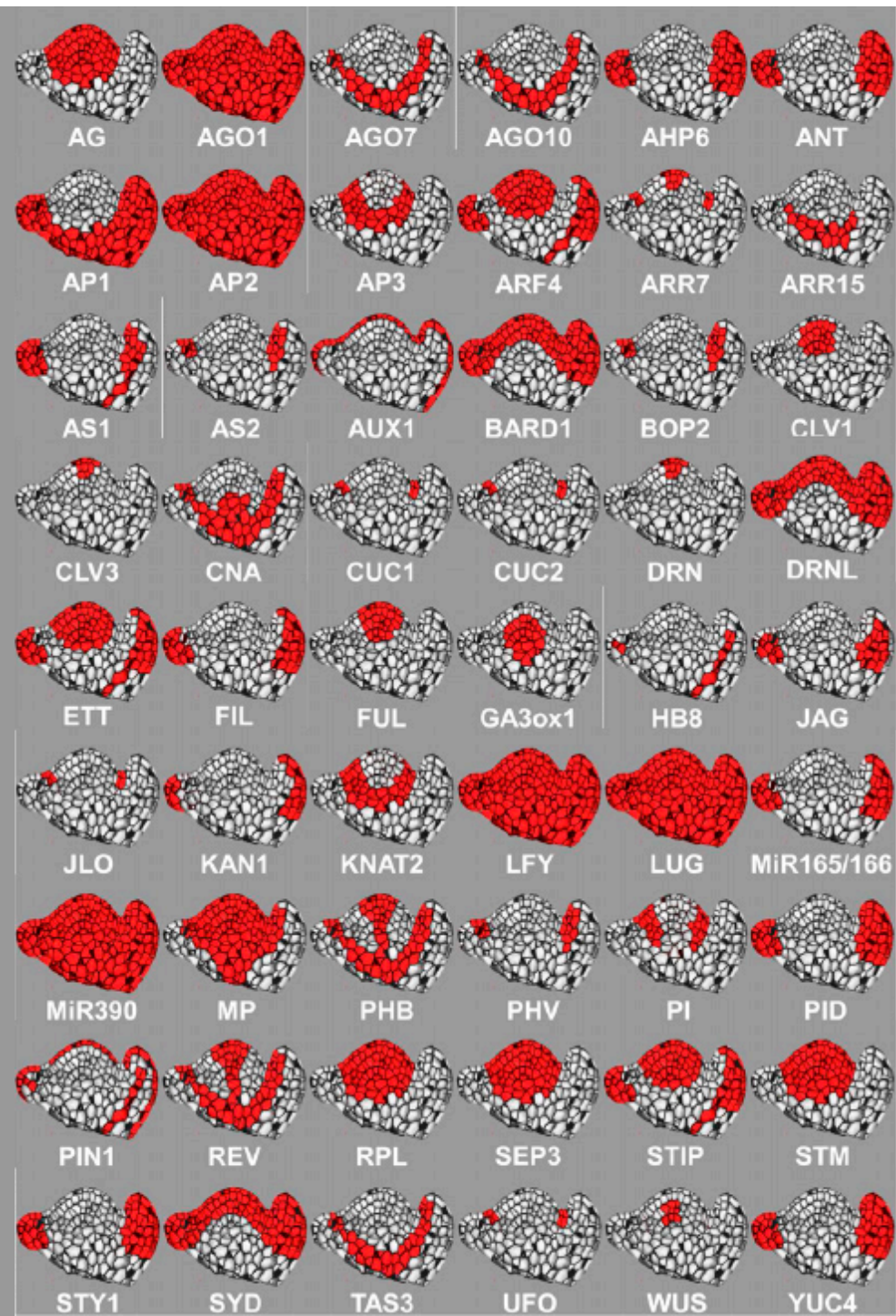


Observer l'activité des gènes A, B, C, ...



Exemple: localisation GFP du Gène A (AP1)

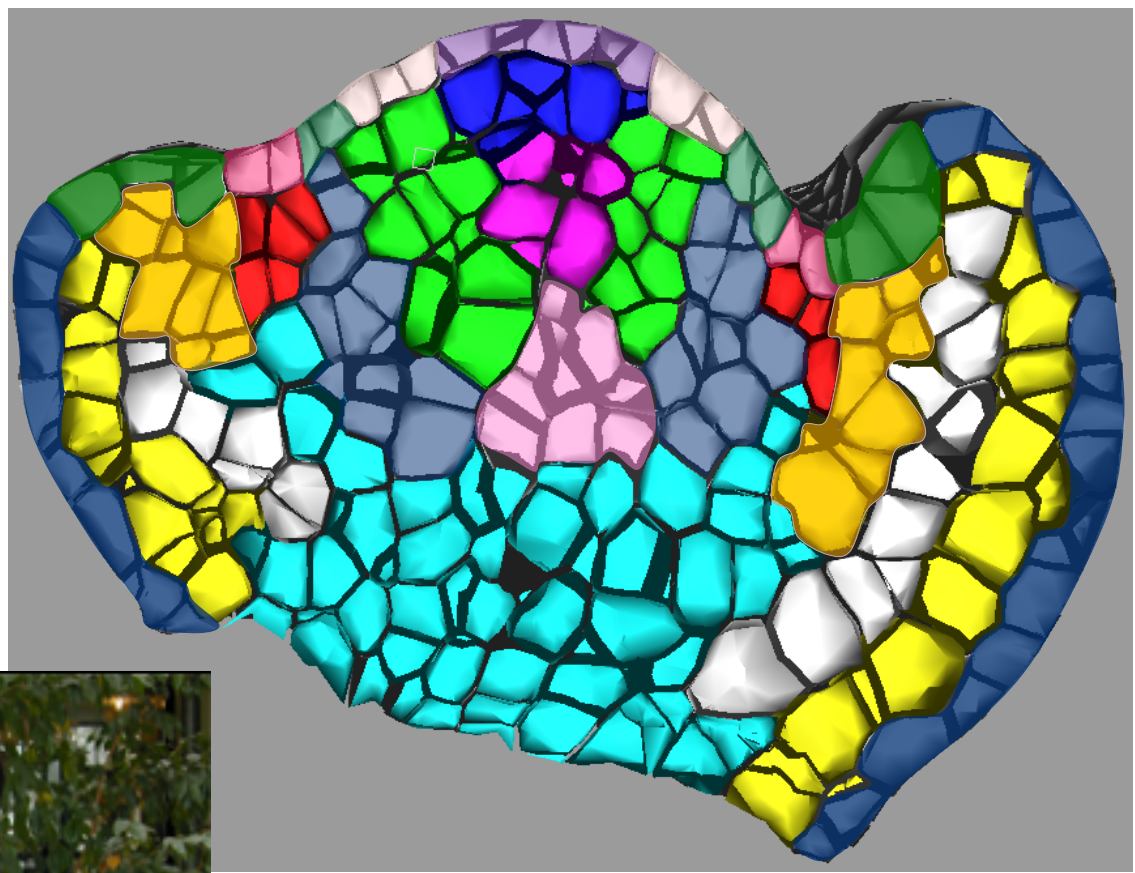




(La Rota et al.,
The Plant Cell, 2011)

36 Transcription factors in 16 domains

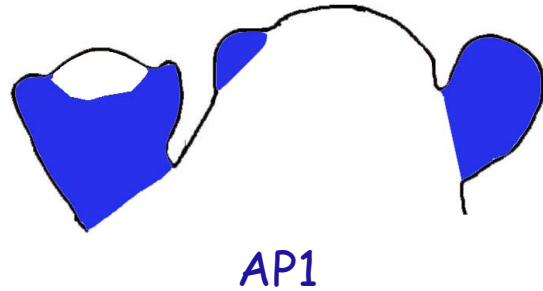
Zone	1	2	3	4	5	6	7	8	9	10	11	12	13	14	15	16
AG	1	1	1	1	1	0	0	0	0	0	0	0	0	1	1	1
AHP6	0	0	0	0	0	0	1	1	1	0	1	1	0	0	0	0
ANT	0	0	0	0	0	0	1	1	1	0	1	1	0	0	0	0
AP1	0	0	0	0	0	0	1	1	1	1	1	1	0	0	0	0
AP2	1	1	1	1	1	1	1	1	1	1	1	1	1	1	1	1
AP3	0	0	0	1	1	1	0	0	0	0	0	0	1	1	0	0
ARF4	1	1	1	1	1	0	0	1	1	0	1	0	0	1	1	1
AS1	0	0	0	0	0	0	1	1	0	0	0	1	0	0	0	0
AS2	0	0	0	0	0	0	1	0	0	0	0	1	0	0	0	0
AtHB8	0	0	0	0	0	0	0	1	0	0	0	0	0	0	0	0
AtML1	0	0	0	0	0	0	0	0	0	0	1	1	1	1	1	1
BOP2	0	0	0	0	0	0	1	0	0	0	0	1	0	0	0	0
CNA	0	0	0	0	1	0	1	0	0	1	0	1	0	0	0	0
CUC1	0	0	0	0	0	1	0	0	0	0	0	0	0	1	0	0
CUC2	0	0	0	0	0	1	0	0	0	0	0	0	1	0	0	0
DRN	0	1	0	0	0	0	0	0	0	0	0	0	0	0	0	1
DRNL	1	1	1	1	0	1	1	1	1	0	1	1	1	1	1	1
ETT	1	1	1	1	1	0	0	1	1	0	1	0	0	1	1	1
FIL	0	0	0	0	0	0	1	1	0	1	0	0	0	0	0	0
FUL	1	1	1	0	0	0	0	0	0	0	0	0	0	0	1	1
JAG	0	0	0	0	0	0	1	1	0	0	0	0	0	0	0	0
JLO	0	0	0	0	1	0	0	0	0	0	0	1	0	0	0	0
KAN1	0	0	0	0	0	0	0	0	1	0	1	0	0	0	0	0
KNAT2	0	0	0	1	1	0	0	0	0	0	0	0	0	1	0	0
LFY	1	1	1	1	1	1	1	1	1	1	1	1	1	1	1	1
MP	1	1	1	1	1	1	1	0	0	1	0	1	1	1	1	1
PHB	1	1	1	0	1	0	1	0	0	1	0	1	0	0	1	1
PHV	0	0	0	0	0	0	0	0	0	0	0	0	0	0	0	0
PI	0	0	0	1	0	0	0	0	0	0	0	0	0	0	0	0
REV	1	1	1	0	0	0	0	0	0	0	0	0	0	0	0	0
RPL	1	1	1	1	0	0	0	0	0	0	0	0	0	0	0	0
SEP3	1	1	1	1	0	0	0	0	0	0	0	0	0	0	0	0
STM	1	1	1	1	0	0	0	0	0	0	0	0	0	0	0	0
STY1	0	0	0	0	0	0	0	0	0	0	0	0	0	0	0	0
WUS	1	0	0	0	0	0	0	0	0	0	0	0	0	0	0	0



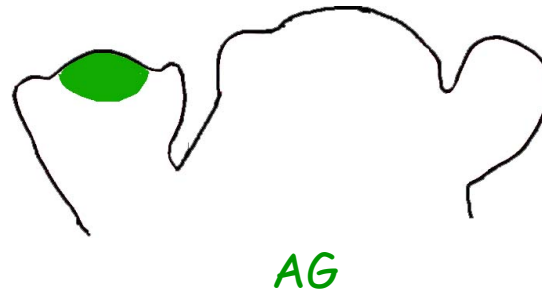
Françoise Monéger, ENS-Lyon

Triple mutant et expression des gènes ABC

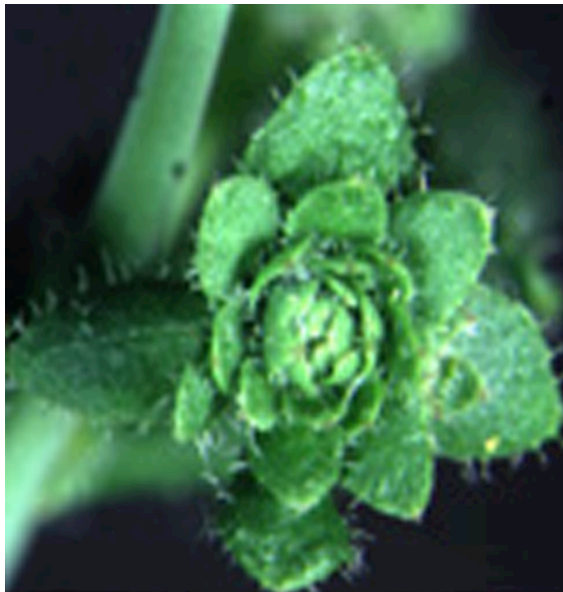
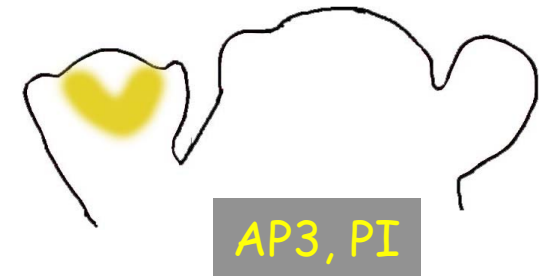
Expression de A



Expression de C



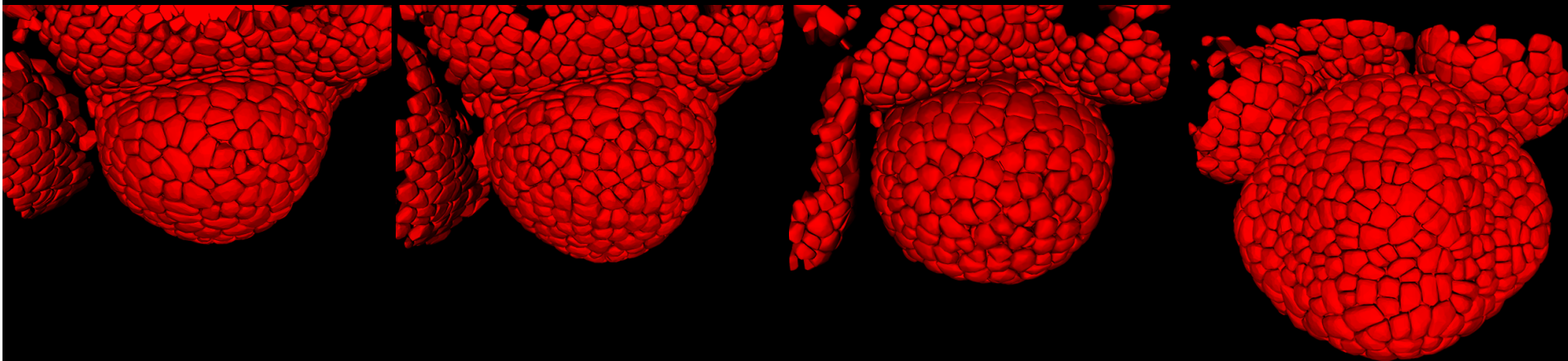
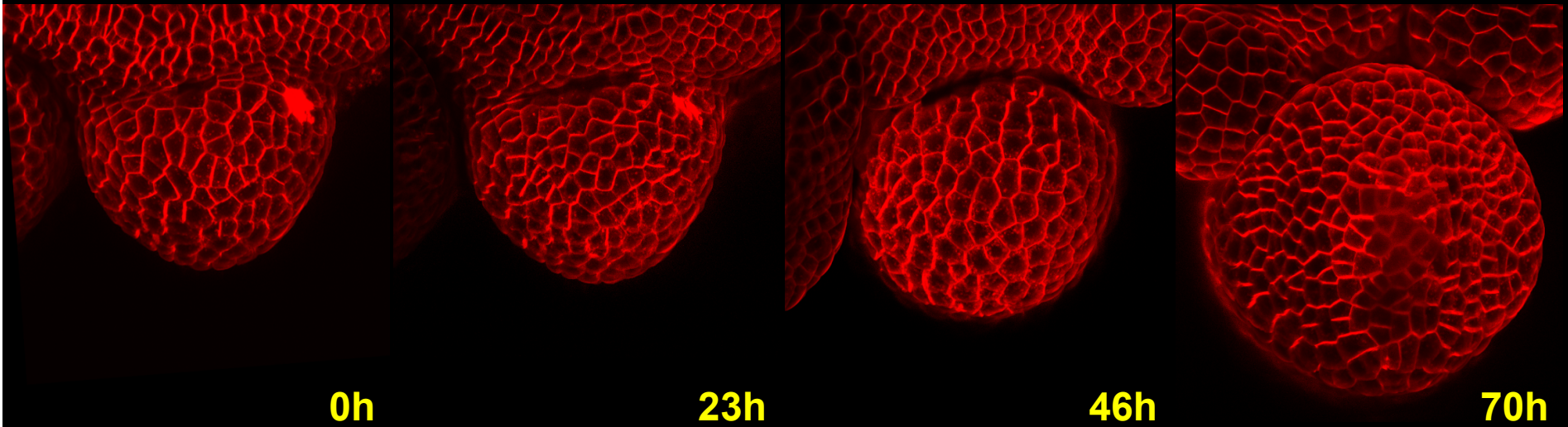
Expression de B



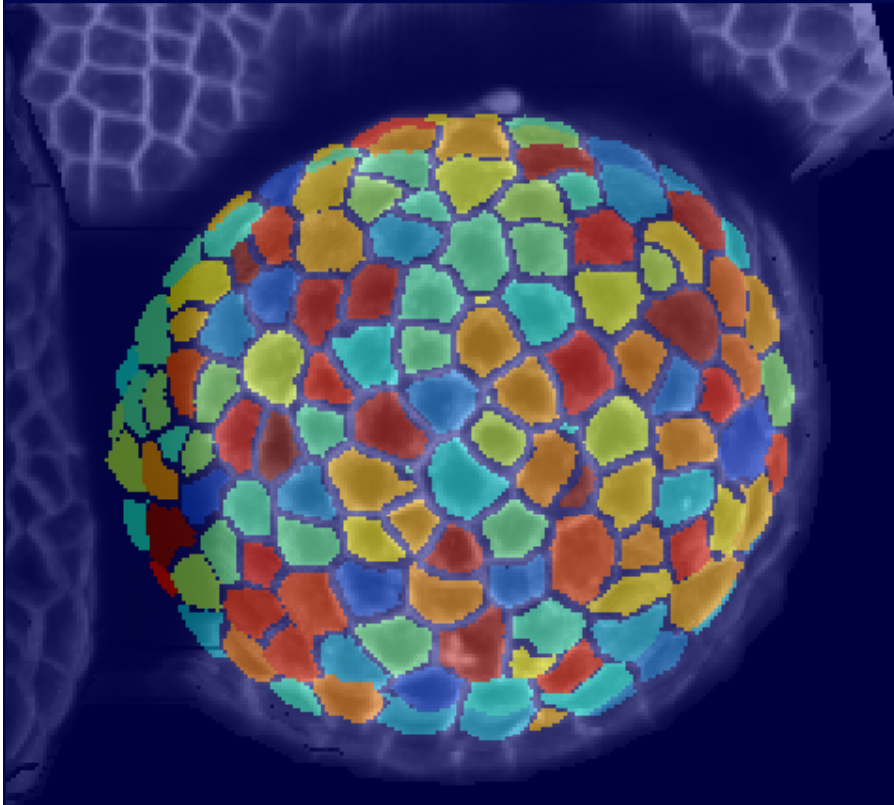
La prévision de Goethe dans « Die Versuchung der Metamorphose zu erklären (1790) » :

Les organes floraux sont des feuilles modifiées

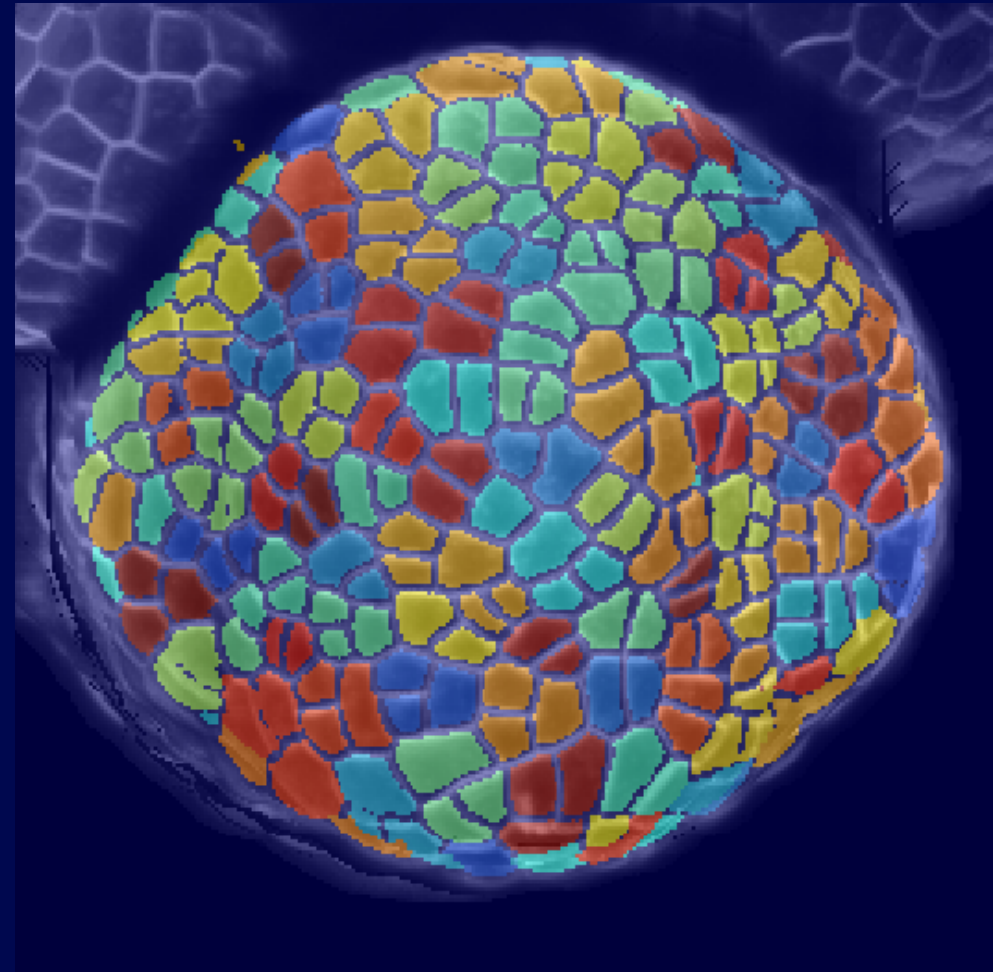
Suivi temporel



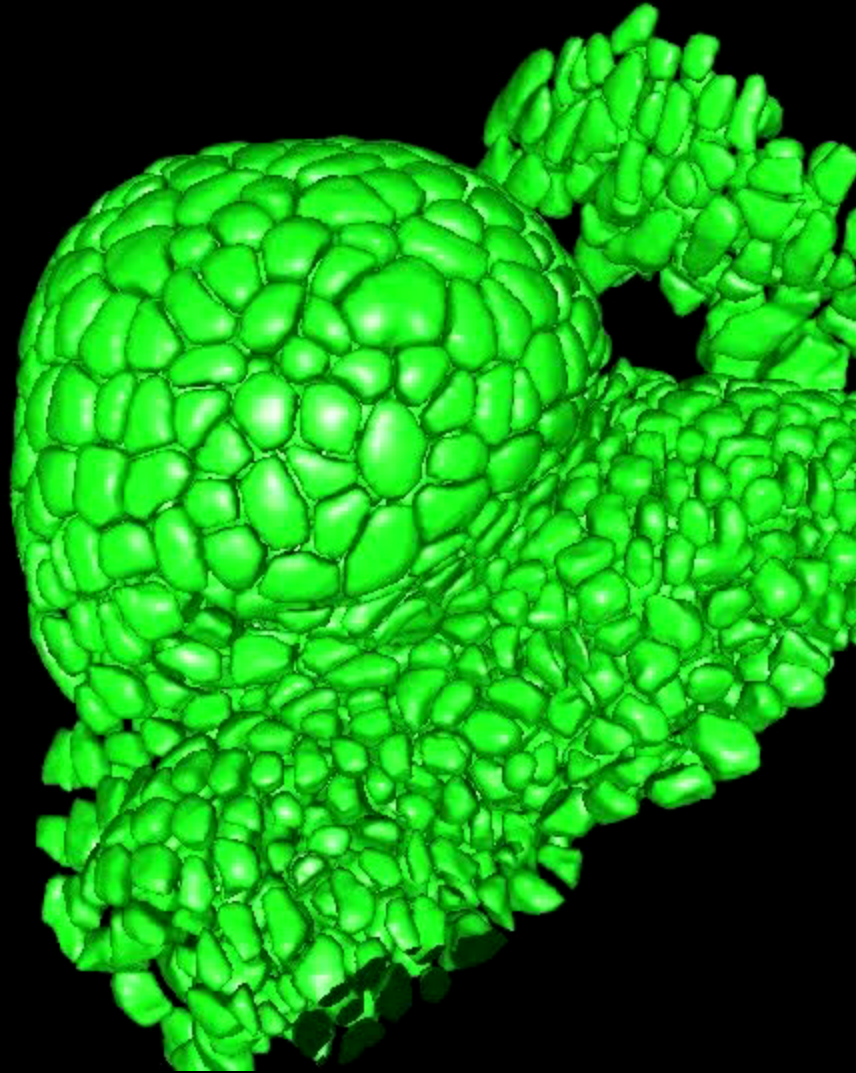
Suivi des lignées cellulaires



T0

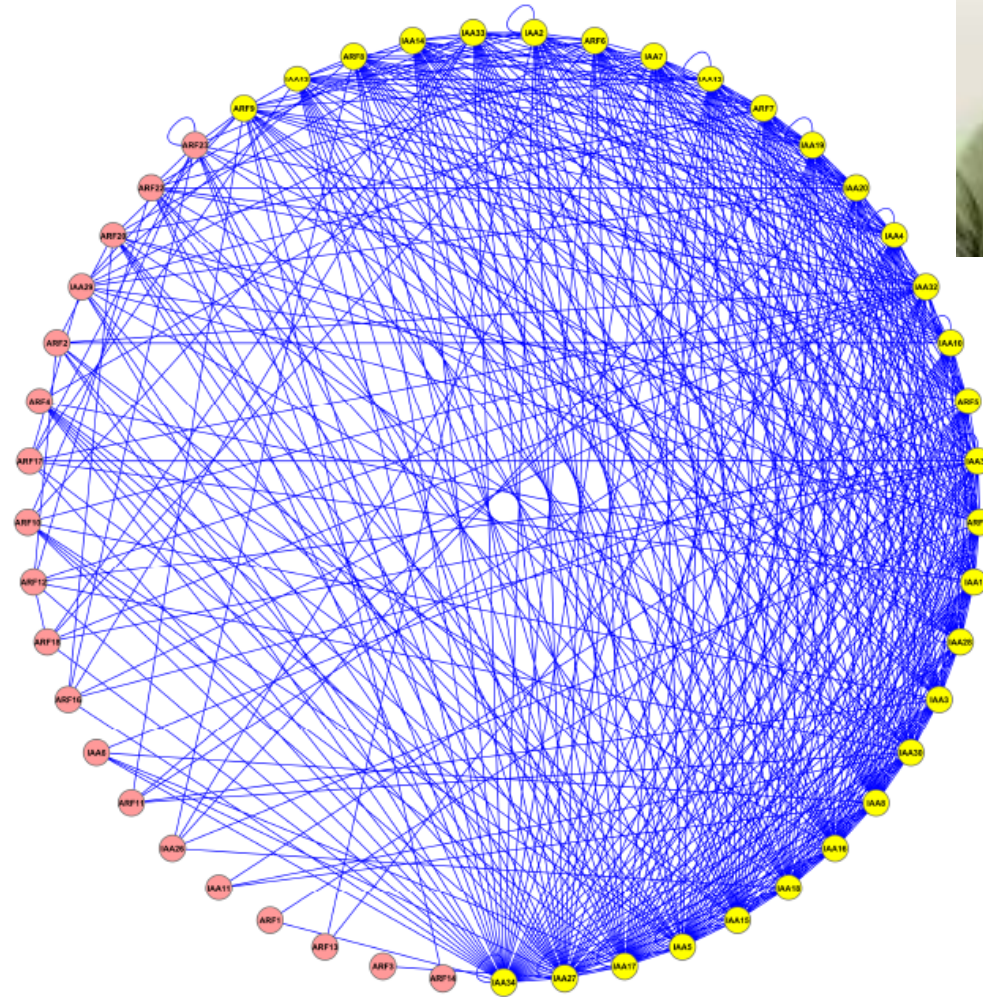


T0+24h



Thèse Romain Fernandez (Fernandez et al., *Nature Methods*, 2010)

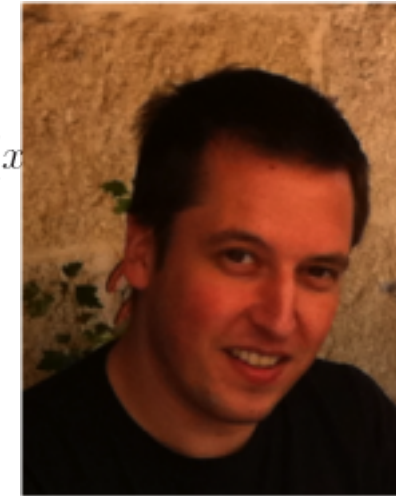
Le dialogue entre gènes peut parfois devenir très complexe



Teva Vernoux

Ecriture mathématique du dialogue entre les gènes

$$\begin{aligned}\frac{da_1}{dt} &= \pi_1 r + 2k'_{11}d_{11} - 2k_{11}a_1^2 + k'_{12}d_{12} - k_{12}a_1a_2 - \delta_1(x) \\ \frac{da_2}{dt} &= \pi_2 + 2k'_{22}d_{22} - 2k_2a_2^2 + k'_{12}d_{12} - k_{12}a_1a_2 - \delta_2a_2 \\ \frac{d(d_{11})}{dt} &= k_{11}a_1^2 - (k'_{11} + \delta_{11})d_{11} \\ \frac{d(d_{12})}{dt} &= k_{12}a_1a_2 + \beta'_{12}g_{12} - \beta_{12}gd_{12} - (k'_{12} + \delta_{12})d_{12} \\ \frac{d(d_{22})}{dt} &= k_{22}a_2^2 + \beta'_{22}g_{22} - \beta_{22}gd_{22} - (k'_{22} + \delta_{22})d_{22} \\ \frac{dr}{dt} &= h(g_{22}) - \delta_r r \\ \frac{dg_{22}}{dt} &= \beta_{22}gd_{22} - \beta'_{22}g_{22} \\ \frac{dg_{12}}{dt} &= \beta_{12}gd_{12} - \beta'_{12}g_{12} \\ g &= 1 - g_{12} - g_{22}\end{aligned}$$



Etienne Farcot, Inria

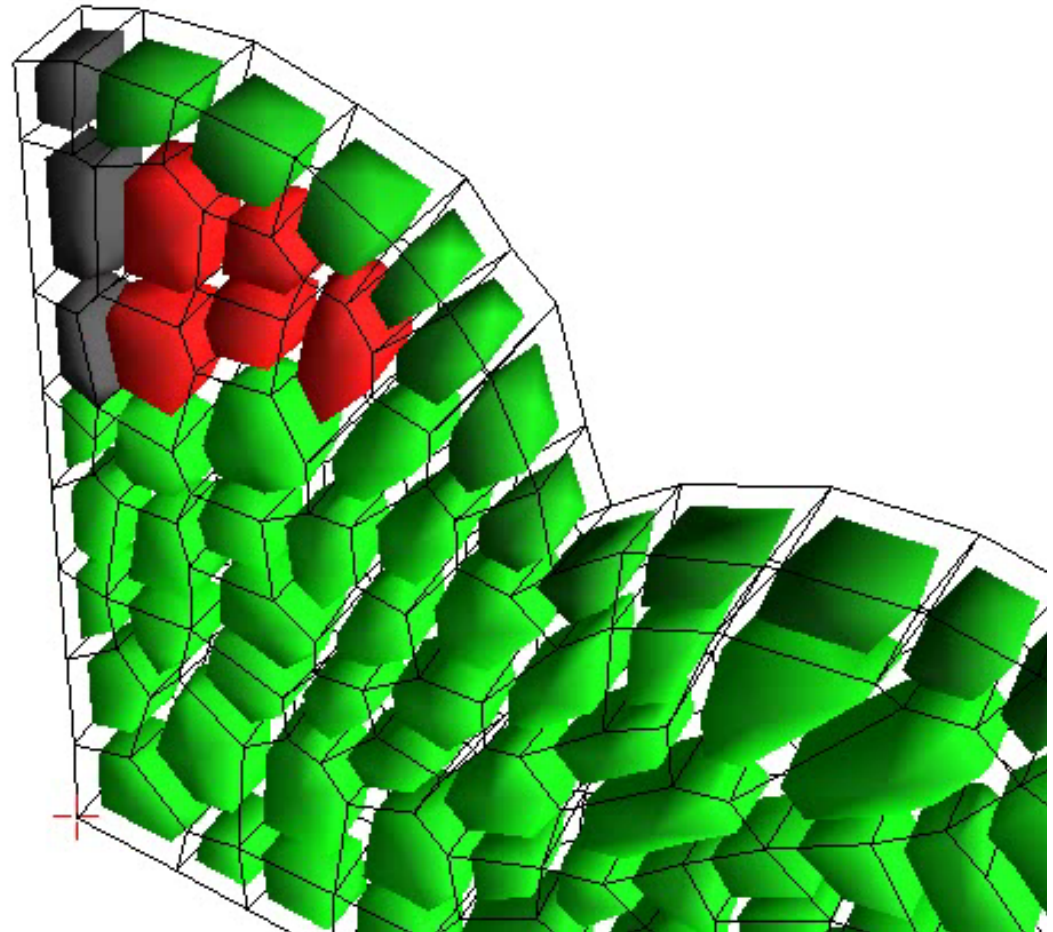


Anna-Maria Kiss, Inria

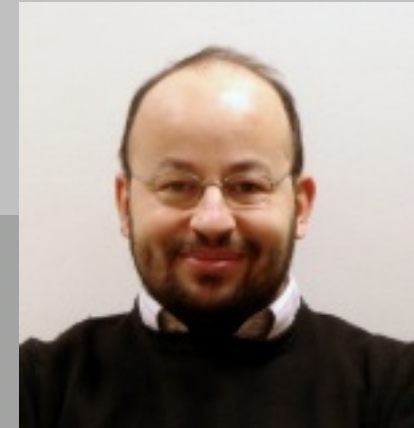
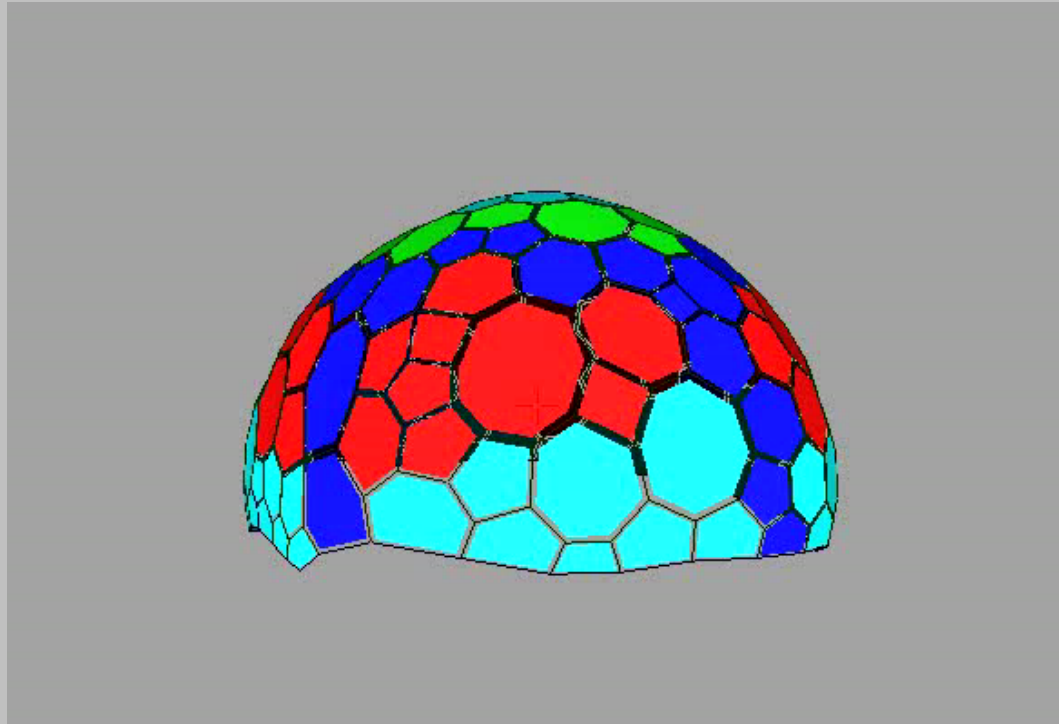
Simulation mécanique des interactions entre cellules



Jérôme Chopard, Post-doc Inria



Simulation du développement d'une jeune fleur



Arezki Boudaoud,
ENS-Lyon



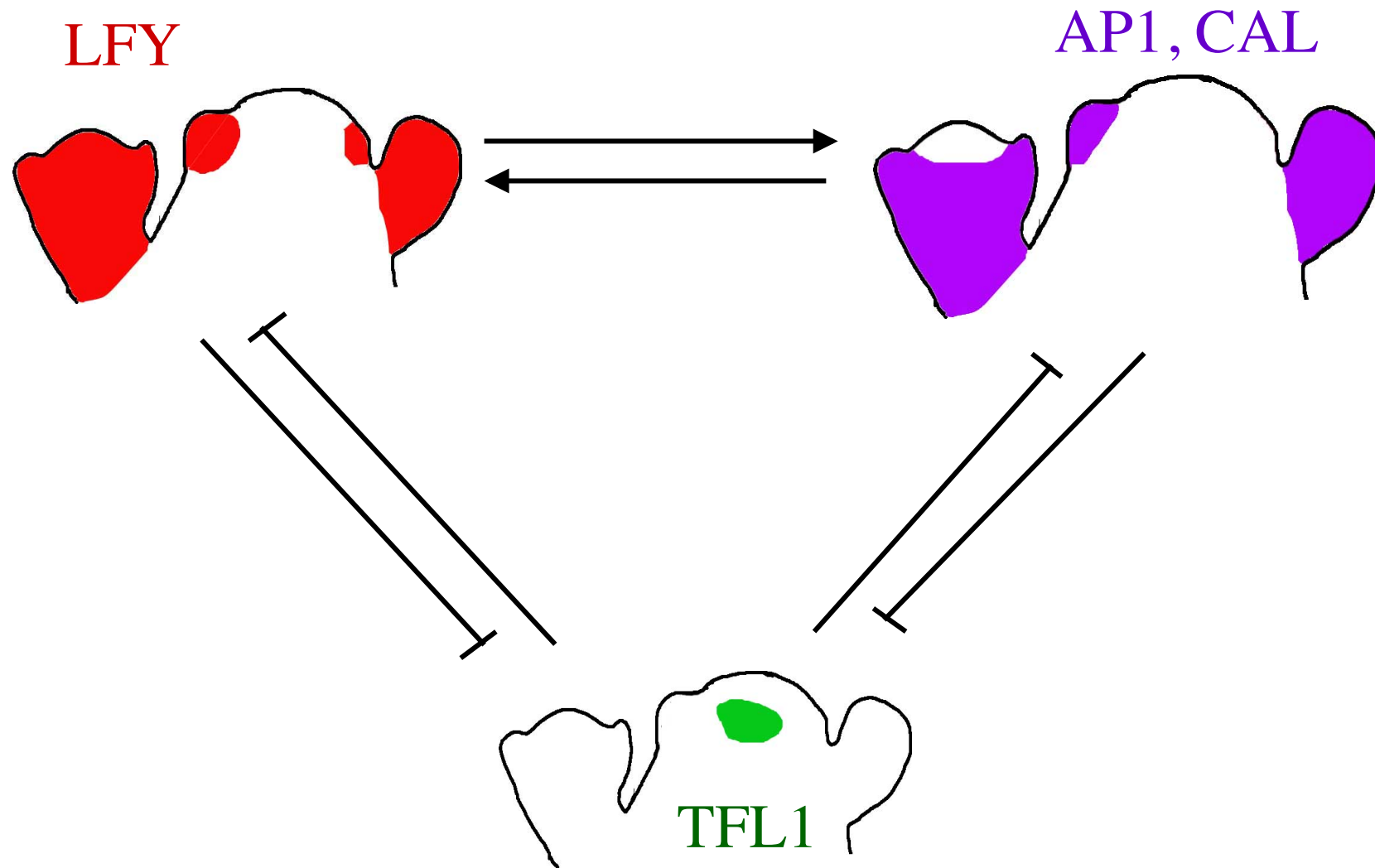
Frédéric Boudon,
Cirad 48

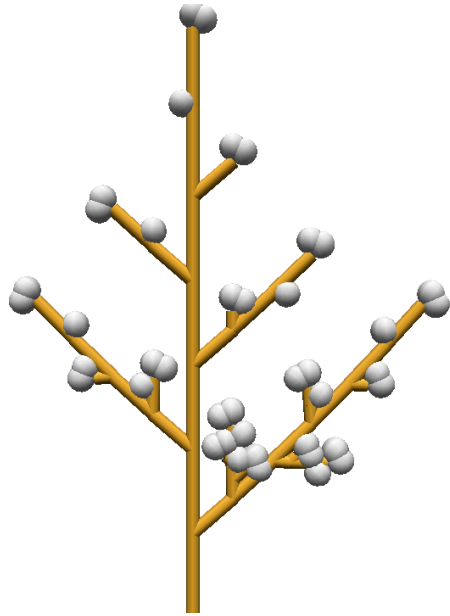
Modèles à des échelles plus intégrées



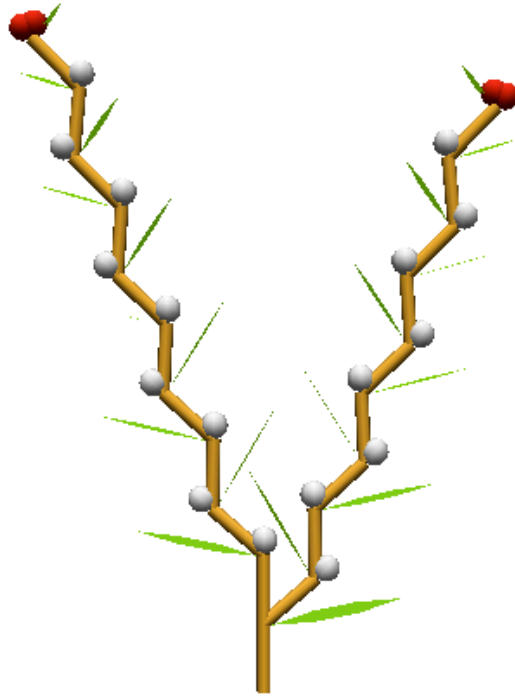
François Parcy, Cnrs

Le réseau de régulation des gènes d'identité méristématique

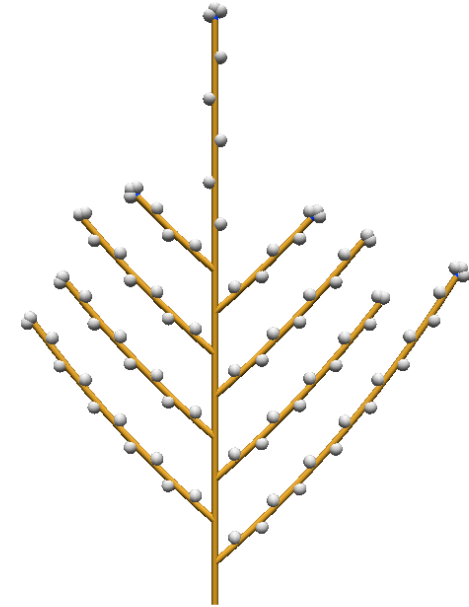




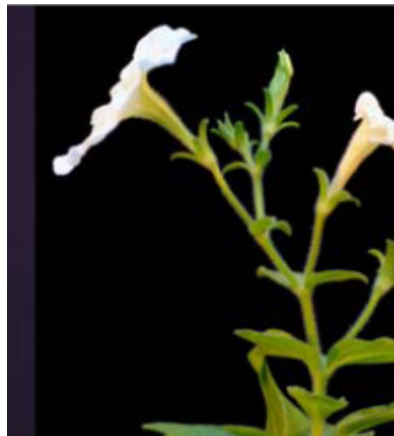
Panicle

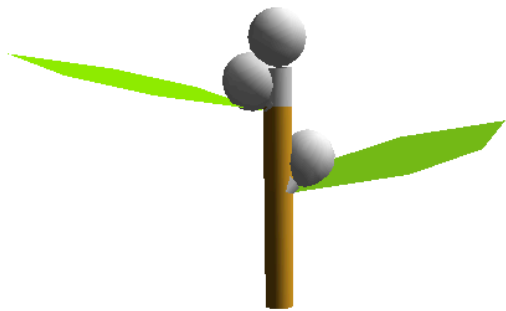


Cyme



Maize tassel



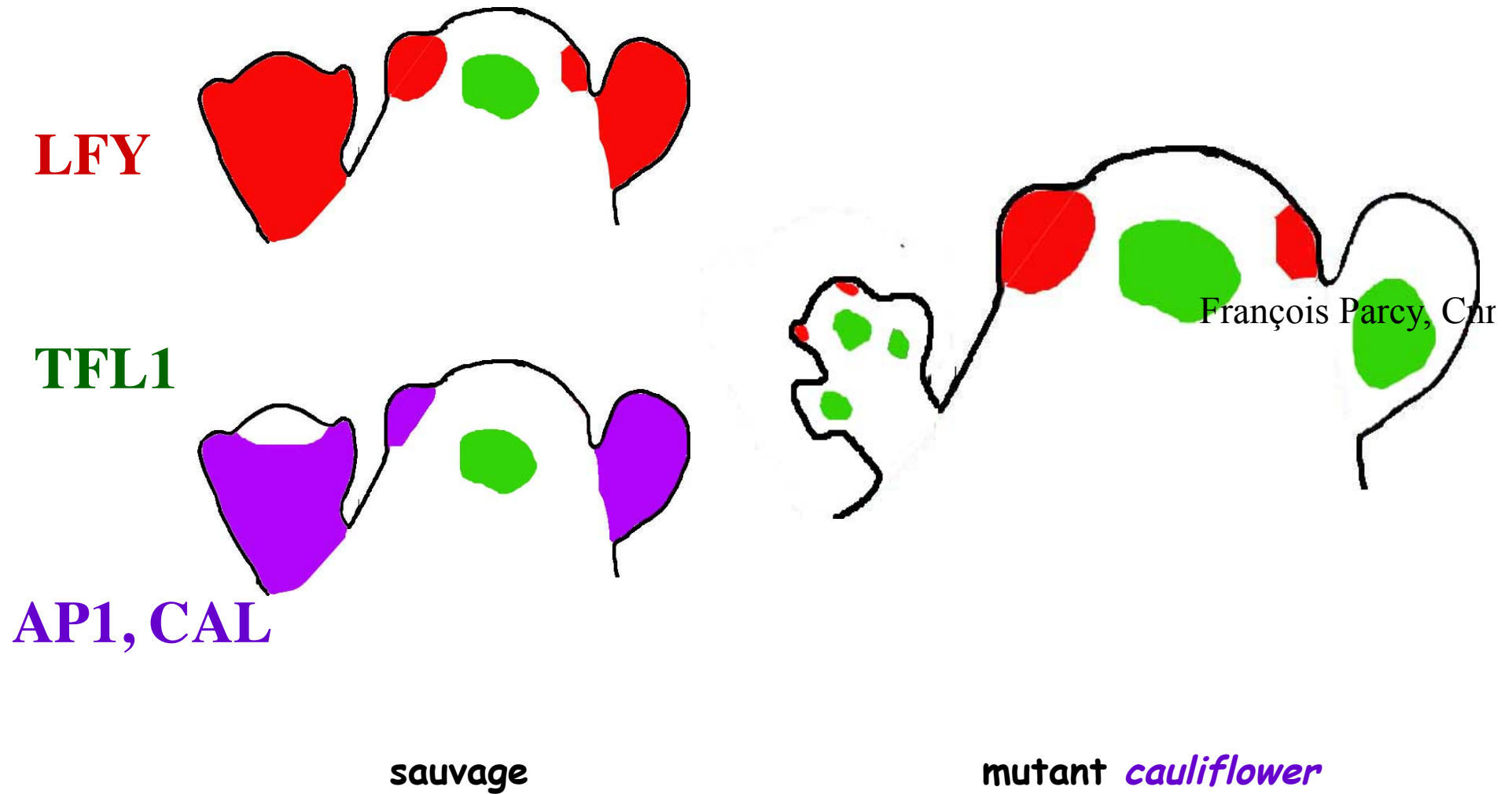


35S::TFL1

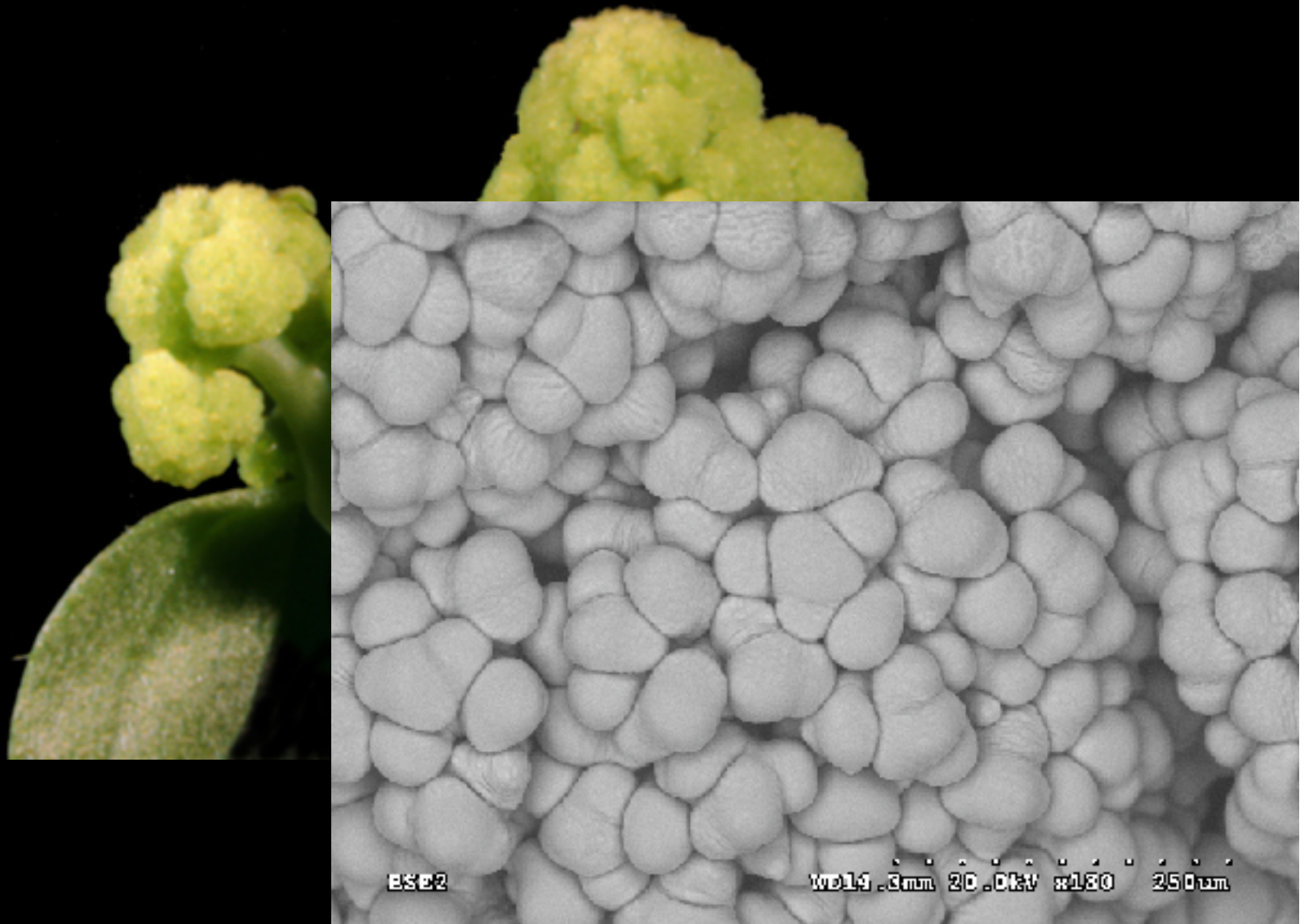


lfy mutant

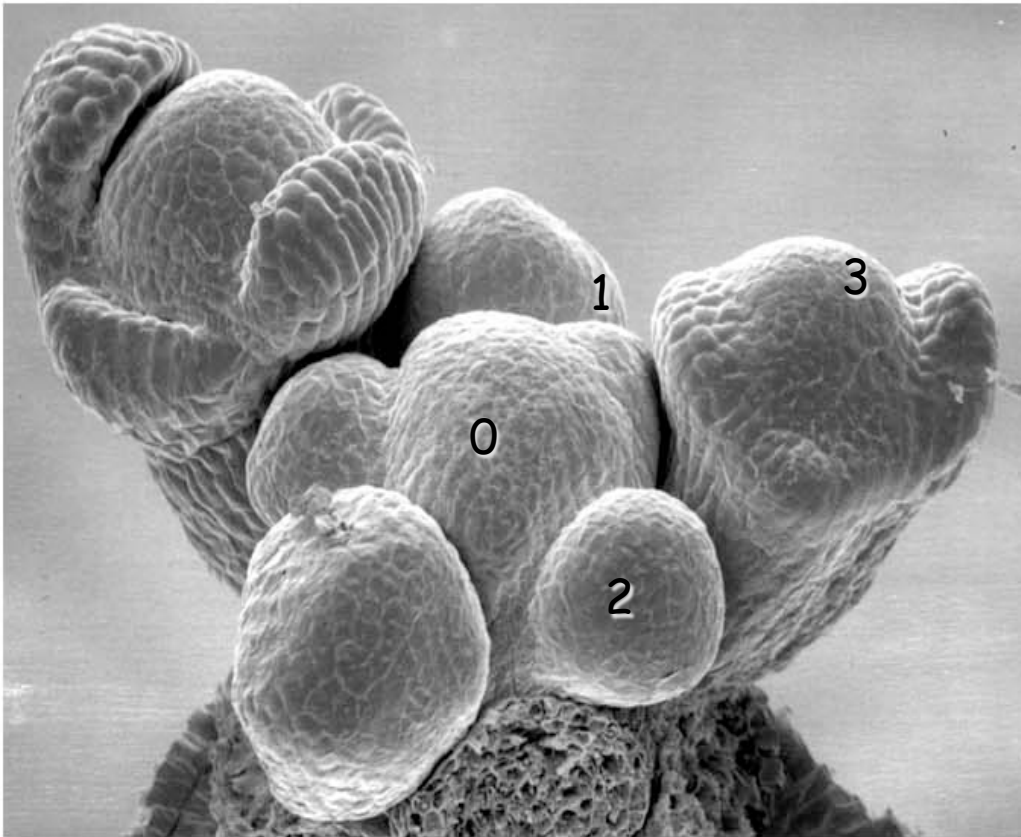
Que se passe-t-il chez *cauliflower* ?



Applications



Vue de plus près du mutant *cauliflower*



sauvage



mutant *cauliflower*



